## PROVERDICATED TO THE SECOND PROPERTY OF THE PR

- 1. Contextualização Geológica.
- 2. Segmento Tapajós
  - 2.1 Estudos de Casos Segmento Tapajós
    - 2.1.1 Caso 1 Região da Vila Riozinho
    - 2.1.2 Caso 2 Granito Batalha
- 3. Segmento Alta Floresta
  - 3.1 Caso Granito Matupá
  - 3.2 Aspectos geológicos de regiões auríferas do segmento Alta Floresta
- 4. Referências Bibiográficas

### 1. Contextualização Geológica

A Província Aurífera Tapajós - Alta Fioresta estende-se pelos estados do Pará, Mato Grosso e Tocantins, na porção sul do Cráton Amazônico, conforme localização esquemática apresentada na que segue.

Este cráton ocupa uma área de ~ 4,3 milhões de km² no centro-norte da América do Sui, tendo como limites cinturões neoproterozóicos: Tucavaca, na Bolívia; e Paraguai-Araguia e Tocantins, no Brasil central, todos de idade Brasiliano.

Do ponto de vista evolutivo, duas linhas antagônicas tem sido apresentadas para a evolução geotectônica deste Cráton; mobilista e fixista.

Tassinari (1996, in Tassinari e Macambira, 1999) na mais recente e aceita modelagem, propôs a compartimentação do Craton Amazônico em seis **províncias geocronológicas**, representadas na **representadas**, a saber:

Neste contexto, Tassinari e Macambira (1999) reportam que apesar dos limites entre as citadas provincias estarem razoavelmente bem definidos, com base em dados geocronológicos, alguns limites carecem de maiores detalhamentos geológicos.

As províncias geocronológicas podem incluir mals a coma a some oficial and a some of the sound o

### 2. Segmento Tapajós

Mapa geológico simplificado ( )

O embasamento desta Província Aurífera, pertence a Provincia Amazônia Central ou a Província Ventuari Tapajós , localmente representado pela Suítes Metamórficas Cuiú-Cuiú e Jacareacanga.

O complexo de idade mais antiga que 2,0 Ga, arqueano a paleoproterozóico, terrenos granito gnáissicos, TTG,

O Grupo **refarecantes** é uma seqüência supracrustal vulcano-sedimentar, deformada e metamorfisada em facies xisto verde, com idade U-Pb, em zircões detriticos, de cerca de 2.100 e 2.875 Ma (Santos et. al.,2000).

Alguns autores, Ferreira et al., 2000; Klein and Vasquez, 2000 e Klein et al., 2001, admitem que ambas as unidades estão relacionadas aos estados procesos de desenvolvimento do referido arco magmático (Provincia Ventuari - Tapajós).

A Tabelar, obtida de Tassinari et. al. (2000), mostra o padrão geocronológico das principais unidades da PAC.

A seqüência Cuiú-Cuiú e o Grupo Jacareacanga encontram-se intrudidos por rochas da Suíte Intrusiva de composição granodioritica a monzodioritica, de idade em torno de 1880 Ma, e correspondendo a uma geração de granitos cálcio alcalinos, pós tectônico, mais tardios.

Cumpre realçar que, ao se considerar os atuais limites propostos para separar a PAC da Provincia Ventuari - Tapajós, a Suite a fara a flora em ambas provincias.

Santos et. al. (2001) propões novas idades para o magmatismo Uatumã: Iriri (1870±8Må), Iricoumé (1862±7Ma), Teles Pires (1740±12Ma) e Surumu (1960±6Ma).

Santos et. al. (2001) ressalta que "o produto de um processo anorogênico que ocorreu entre 1880-1870 Ma envolvendo fusão parcial de fonte crustal arqueana. As rochas com estas características correspondem a Formação Iriri, Iricoumé e parte dos grupos Surumu, e estão restritas a Provincia Amazônia Central. Outras vulcânicas calci-alcalinas com idade e origem distinta não devem ser incluidas no Grupo Uatumã."

A granitogenese anorogênica, co-magmática ao vulcanismo Uatumã é denominada no segmento Tapajós de Suíte Granítica Maloquinha; compreendendo granitos anorogênicos, aluminosos, tipo A, admitidos por Dardene & Shobbenhaus (2001) como de idade em torno de 1.80-1.87 G.a..

# 3.1 Sports Salar S

Em termos gerais as mineralizações auríferas do segmento Tapajós tem sido relacionadas a dois períodos distintos:

- o 1º com idade em torno de **100 de 100 de 10**
- e o 2º período, com idades em torno de relacionado a Suíte Intrusiva Parauari e máficas Ingarana; com alguns depósitos primários relacionados as vulcânicas Iriri e granitos Maloquinha,

Os trabalhos disponíveis evidenciam a existência de um grande numero de depósitos de ouro primário associados principalmente a veios de quartzo, mesotermais a epitermais, em

níveis crustais relativamente profundos (profundos em níveis crustais relativamente profundos (profundos em níveis crustais relativamente profundos (profundos em níveis crustais relativamente profundos (profundos em níveis crustais relativamente profundos (profundos em níveis crustais relativamente profundos em níveis crustais relativamente profundos (profundos em níveis crustais relativamente profundos (profundos em níveis crustais relativamente profundos em níveis crustais relativamente profundos (profundos em níveis crustais relativamente profundos em níveis crustais relativamente profundos em níveis crustais relativamente profundos (profundos em níveis crustais relativamente profundos em níveis crustais relativamente profundos (profundos em níveis crustais relativamente profundos em níveis crustais relativamente profundos (profundos em níveis crustais relativamente profundos em níveis crustais relativamente profundos (profundos em níveis crustais em níveis em

A importância do magmatismo Iriri ( ) na geração das mineralizações de ouro, sobretudo associado a granitogênese (Maloquinha), é um ponto polemico.

Estruturas tipo caldeira gerando single piternats de alta sulfetação (Nunes et al., 2000 e Juliani et al., 2000) e baixa sulfetação (Corrêa-Silva et. al. 2000 e Juliani et al. 2000)

Algumas mineralizações em rochas graníticas anorogênicas da Suíte Intrusiva Maloquinha tem sido consideradas, com base nos padrões das alterações hidrotermais, como semelhantes a depósitos do tipo (Coutinho et al., 1998; Jacobi, 1999 e Coπêa-Silva et, al., 2000).

### 2.1.1 Caso 1 - Região da Vila Riozinho

Lamarão et. al. (2002) Estudo de caso na Vila Riozinho, no contexto de zona limítrofe, entre as Provincias Ventuari - Tapajós e Amazônia Central.

Lamarão et. al. (2002) reportam que a atividade magmática desta região, esta representada por uma seqüência vulcânica mais velha (2000  $\pm$  4 Ma, 1998  $\pm$  3 Ma), denominada Seqüência vulcânica Vila Riozinho, a qual se associa uma fase mais antiga do granito São Jorge (1981  $\pm$  2 Ma, 1983  $\pm$  8 Ma).

Granitos mais jovens estão associados a seqüência vulcânica Moraes Almeida (1890  $\pm$  6 Ma, 1881  $\pm$  4 Ma, 1875  $\pm$  4 Ma), compreendendo os granitos Jardim de Ouro (1880  $\pm$  3 Ma), Maloquinha (1880  $\pm$  9 Ma) e uma fácies mais jovem do granito São Jorge (1891  $\pm$  3 Ma).

Apesar de ambas as seqüências vulcânicas serem admitidas como pertencentes ao Grupo Iriri, os dados geocronológicos e geoquímicos apresentados demonstram que essas seqüências não são contemporâneas e nem cogeneticas.

iguras, de Lamarão et. al. (2002), representa o contexto geológico da região.

Predominantemente de anfibólio biotita monzogranito, sendo caracterizado por apresentar dois conjuntos rochosos heterogêneos denominados de yonger São Jorge e older São Jorge.

**Granito Maloquinha -** Este pluton ocorre nas proximidades da seqüência vulcânica Moraes almieda, apresenta formato irregular, constituido de leucosienogranitos e leucomonzogranito, de tonalidades vermelha, isotrópicos. Magnetita e fluorita são acessórios comuns.

**Granito Jardim de Ouro -** Corpo mais homogêneo Constituido predominantemente por anfibólio-biotita monzogranito, isótropo ou com discreta foliação,

**Granitos pórfiros e Diques -** corpos de granitos pórfiros que cortam o pluton São Jorge, similares na mineralogia aos termos *older São Jorge*. Predominam monzogranitos. Jacobi (1999) correlacionou o depósito de São Jorge a estes pórfiros.

A petrografia e mineralogia dos granitóides esta sumarizada na

### and the contraction of the contr

older granito São Jorge e a sequência vulcânica Vila Riozinho apresentam teores de SiO<sub>2</sub> entre 54.5 e 75.1 wt%:

Os demais granitos estudados e a seqüência vulcânica Moraes Almeida têm o teor de SiO<sub>2</sub> entre 67,5 e 76,6 wt%.

Os granitos São Jorge e Jardim de Ouro e a seqüência vulcânica Vila Riozinho tem afinidades cálcio alcalinas caem no campo das **Medicalitas** (VAG), e foram interpretados como relacionadas a (2,1 - 1,97 Ga);

As amostras do granito Maloquinha e da seqüência vulcanica Moraes Almeida caem principalmente no campo dos granitos (WPG), são tardias, aluminosas, tipo A, com a granitogenese correspondente, datadas entre 1,89-1,87 Ga, foram correlacionadas a um episódio subseqüente de securita (entre 1,90 -1,87 Ga). Conforme modelo tectônico esquemático representado na mana de conforme modelo tectônico esquemático de conforme modelo tectônico esquemático de conforme modelo esquemático de conforme modelo de conforme model

Os dados mostram ainda que a história do vulcanismo proterozóico da porção leste da Província geocronológica Venturi - Tapajós, é mais complexo, com episódios recorrentes, antical de la complexo.

#### 2.1.2 Caso 2 - Ganto Main

Juliani et. al. (2002) caracteriza o granito Batalha (1,88 Ga) como sendo tardio a pós colisional, apresentando-se intensamente alterado por fluidos hidrotermais pós magmáticos, seguido de metassomatismo precoce Na e K, com pervasiva propilitização e sericitização, e deposição de ouro.

O granito batalha foi classificado pelo autor supra citado como um sistema pórfiro Cu - Au, e evidencia o potencial existente para depósitos de baixo teor e grande volume.

mapa geológico da região de ocorrência do granito Batalha.

### 3. Segmento Alta Floresta

Este segmento da Provincia Aurífera Tapajós - Alta Floresta situa-se a sul do Grabén do Cachimbo, como uma faixa alongada na direção E-W (1001).

A partir de um arco magmático, evoluído durante o período 1,8 - 1,55 Ga.

O embasamento deste segmento esta representado por terrenos granito gnáissicos de composição e natureza similares aos terrenos tipo TTG, descritos no segmento Tapajós, o que levou a correlacioná-los aos Granitóides Arqueanos (>2.500Ma), de Macambira et al. (1990).

No segmento Alta Floresta, no Estado de Mato Grosso, são reconhecidas, principalmente, assembléias graníticas com feições petrográficas e estruturais que as permite correlaciona-las a unidades denominadas Granitos graníticas e estruturais que as permite correlaciona-las a unidades denominadas Granitos graníticas e estruturais que as permite correlaciona-las a unidades denominadas Granitos graníticas e estruturais que as permite correlaciona-las a unidades por outros autores supra citados, no âmbito das Províncias Amazônia Central e Ventuari-Tapaiós.

Paes de Barros (1994) correlaciona os Granitos Juruena na região de Peixoto de Azevedo - MT, aos Granitos Parauari (1,9-1,8 G.a), com as variedades petrográficas representadas principalmente por biotita monzogranitos e biotita granodioritos, estes de ocorrência pontual. São rochas leucrocráticas, isótropas, equigranulares de granulação média, e/ou porfiríticas, com cristais centimétricos de plagioclásio zonados.

Datações recentes efetuadas nas regiões de Peixoto de Azevedo-MT vem evidenciando uma relativa concentração de idades em torno de sobretudo nas nas áreas mineralizadas.

Dardene e Shobbenhaus (2001) propõem para as Provincias Auríferas Tapajós e Alta Floresta, uma importante época de geração de mineralizações auríferas entre associado a zonas de cisalhamento do final do Evento Transamazônico e as intrusões graníticas de tipo Matupá e Maloquinha (magmatismo Iriri)

### 3.1 Caso Stauto Malue.

Segundo Botelho e Moura, o Monzogranito Matupá constitui um maciço homogêneo, indeformado, equigranular a porfiritico, com características geoquímicas similares aos granitos de arcos vulcânicos (VAG) ou pós colisionais granitos (COLG), gerados na presença de uma crosta oceânica. Apresentam como minerais acessórios homblenda, biotita, titanita, magnetita, ilmenita rica em Fe³, pirita e feldspato K rosa.

O maciço matupá, de idade Ma, é um granito cálcio alcatino oxidado, similar aos granitos tipo I oxidados, descritos nos cinturões paleozóicos do oeste da Austrália.

O principal esta espacialmente associado a porções do maciço granítico Matupá que foram submetidas a alteração hidrotermal pervasiva. O primeiro evento metassomático, se caracteriza por microclinização pervasiva. Em seguida o granito microclinizado foi transformado por metassomatismo sódico com formação de albita pura, substituindo principalmente feldspato K. Swegue uma fase de cloritização e sericitização. Piritização foi a ultima e mais importante fase hidrotermal no depósito.

### 3.2 Aspectos geológicos de regiões auríferas do segmento Alta Floresta

### Região Garimpeira do

- Os dados da geoquímica de solo apresentaram valor threshold para ouro de 31,17 ppb
- Os granitos pré Uatumã, representados principalmente por biotita granitos a granodioritos, com hornblenda, biotita granitos porfiriticos e granitos pórfiros, apresentaram datações U/Pb com valores da ordem de Max Ma, Max Ma Ma.
- As mineralizações são essencialmente do tipo veios de quartzo, associadas a estruturas de cisalhamento, frequentemente pouco sulfetados.

### Região garimpeira de Novembre

- A geoquímica de solo apresentou valor threshold para ouro de 20 ppb
- O embasamento esta representado por rochas graníticas, por vezes orientadas e granitos gnaisses com feições de recristalização e milonitização segundo a direção W-NW.
- Os granitos pré Uatumã, representados principalmente por biotita granodioritos, com hornblenda, granitos porfiriticos e monzogranitos. apresentaram datações U/Pb com valores da ordem de Maria Ma.
- Garimpo do Luizão ouro disseminado em granitos hidrotermalizados associado com py, ccp e bo.
- Garimpo do Pezão Ouro em rochas cataclásticas sulfetadas ( ZCD), com py, bo, calco pirita e malaquita.

## HONNEY CHARLES OF THE CONTRACT OF THE CARRIED AND A STREET OF THE CARRIED AND A STREET

- 1. Contextualização Geológica.
- 2. Segmento Tapajós
  - 2.1 Estudos de Casos Segmento Tapajós
    - 2.1.1 Caso 1 Região da Vila Riozinho
    - 2.1.2 Caso 2 Granito Batalha
- 3. Segmento Alta Floresta
  - 3.1 Caso Granito Matupá
  - 3.2 Aspectos geológicos de regiões auríferas do segmento Alta Floresta
- 4. Referências Bibiográficas

### 1. Contextualização Geológica

A Província Aurífera Tapajós - Alta Floresta estende-se pelos estados do Pará, Mato Grosso e Tocantins, na porção sul do Cráton Amazônico, conforme localização esquemática apresentada na figural, que segue.

Este cráton ocupa uma área de ~ 4,3 milhões de km² no centro-norte da América do Sul, tendo como limites cinturões neoproterozóicos: Tucavaca, na Bolívia; e Paraguai-Araguia e Tocantins, no Brasil central, todos de idade Brasiliano.

Do ponto de vista evolutivo, duas linhas antagônicas tem sido apresentadas para a evolução geotectônica deste Cráton; mobilista e fixista.

Tassinari (1996, in Tassinari e Macambira, 1999) na mais recente e aceita modelagem, propôs a compartimentação do Craton Amazônico em seis províncias geocronológicas, representadas na **Eguliazi**, a saber:

Neste contexto, Tassinari e Macambira (1999) reportam que apesar dos limites entre as citadas províncias estarem razoavelmente bem definidos, com base em dados geocronológicos, alguns limites carecem de maiores detalhamentos geológicos.

As províncias geocronológicas podem incluir mais nextos as a la constanta de l

#### 2. Segmento Tapajós

Mapa geológico simplificado (Miguila 22)

O embasamento desta Provincia Aurífera, pertence a Provincia Amazônia Central ou a Provincia Ventuari Tapajós localmente representado pela Suítes Metamórficas Cuiú-Cuiú e Jacareacanga.

O complexo de idade mais antiga que 2,0 Ga, arqueano a paleoproterozóico, terrenos granito gnáissicos, TTG,

O Grupo **Estatos** é uma seqüência supracrustal vulcano-sedimentar, deformada e metamorfisada em facies xisto verde, com idade U-Pb, em zircões detriticos, de cerca de 2.100 e 2.875 Ma (Santos et. al.,2000).

Alguns autores, Ferreira et al., 2000; Klein and Vasquez, 2000 e Klein et al., 2001, admitem que ambas as unidades estão relacionadas aos **application de la companie de la** 

A **l'abela**, obtida de Tassinari et. al. (2000), mostra o padrão geocronológico das principais unidades da PAC.

A seqüência Cuiú-Cuiú e o Grupo Jacareacanga encontram-se intrudidos por rochas da Suite Intrusiva a de composição granodioritica a monzodioritica, de idade em tomo de 1880 Ma, e correspondendo a uma geração de granitos cálcio alcalinos, pós tectônico, mais tardios.

Cumpre realçar que, ao se considerar os atuais limites propostos para separar a PAC da Provincia Ventuari - Tapajós, a Suíte aflora em ambas provincias.

Santos et. al. (2001) propões novas idades para o magmatismo Uatumã: Iriri (1870±8Ma), Iricoumé (1862±7Ma), Teles Pires (1740±12Ma) e Surumu (1960±6Ma).

Santos et. al. (2001) ressalta que "o magnatione datuna é o produto de um processo anorogênico que ocorreu entre 1880-1870 Ma envolvendo fusão parcial de fonte crustal arqueana. As rochas com estas características correspondem a Formação Iriri, Iricoumé e parte dos grupos Surumu, e estão restritas a Província Amazônia Central. Outras vulcânicas calci-alcalinas com idade e origem distinta não devem ser incluidas no Grupo Uatumã."

Segundo Tassinari e Macambira (1999), a porção sul da Província Ventuari - Tapajós foi afetada tanto pelo vulcanismo ácido a intermediário de natureza cálcio alcalino, do Grupo Iriri, com granitóides tipo Maloquinha, com idades entre 1,89-1,84 G.a.; como pelo vulcano plutonismo ácido a intermediário denominado Teles Pires, com idades entre 1,7-1,6 G.a. (Tabalas 1999)

A granitogenese anorogênica, co-magmática ao vulcanismo Uatumã é denominada no segmento Tapajós de Suíte Granítica Maloquinha; compreendendo granitos anorogênicos, aluminosos, tipo A, admitidos por Dardene & Shobbenhaus (2001) como de idade em torno de 1.80-1,87 G.a..

## 3.1 Estitos decembro Science de delegra

Em termos gerais as mineralizações auriferas do segmento Tapajós tem sido relacionadas a dois periodos distintos:

- o 1º com idade em torno de **la com**. com as mineralizações alojadas sobretudo em rochas da seqüência Cuiú-Cuiú, do Grupo Jacareacanga
- e o 2º período, com idades em torno de relacionado a Suíte Intrusiva Parauari e máficas Ingarana; com alguns depósitos primários relacionados as vulcânicas Iriri e granitos Maloquinha,

Os trabalhos disponíveis evidenciam a existência de um grande numero de depósitos de ouro primário associados principalmente a veios de quartzo, mesotermais a epitermais, em

**Estimate**, de formas anastomosadas, com veios geralmente delgados e sulfetados, alojados em níveis crustais relativamente profundos (presidente).

A importância do magmatismo triri (Maloquinha), é um ponto polemico.

Ouro, sobretudo associado a granitogênese (Maloquinha), é um ponto polemico.

Estruturas tipo caldeira gerando **Sajenta septentiale** de alta sulfetação (Nunes et al., 2000) e baixa sulfetação (Corrêa-Silva et. al. 2000 e Juliani et al., 2000)

Algumas mineralizações em rochas graniticas anorogênicas da Sulte Intrusiva Maloquinha tem sido consideradas, com base nos padrões das alterações hidrotermais, como semelhantes a depósitos do tipo de la continho et al., 1998; Jacobi, 1999 e Corrêa-Silva et. al., 2000).

#### 2.1.1 Caso 1 - Região da Vila Riozinho

Lamarão et. al. (2002) Estudo de caso na Vila Riozinho, no contexto de zona limítrofe, entre as Provincias Ventuari - Tapajós e Amazônia Central.

Lamarão et. al. (2002) reportam que a atividade magmática desta região, esta representada por uma seqüência vulcânica mais velha (2000 ± 4 Ma, 1998 ± 3 Ma), denominada Seqüência vulcânica Vila Riozinho, a qual se associa uma fase mais antiga do granito São Jorge (1981 ± 2 Ma, 1983 ± 8 Ma).

Granitos mais jovens estão associados a seqüência vulcânica Moraes Almeida (1890  $\pm$  6 Ma, 1881  $\pm$  4 Ma, 1875  $\pm$  4 Ma), compreendendo os granitos Jardim de Ouro (1880  $\pm$  3 Ma), Maloquinha (1880  $\pm$  9 Ma) e uma fácies mais jovem do granito São Jorge (1891  $\pm$  3 Ma).

Apesar de ambas as seqüências vulcânicas serem admitidas como pertencentes ao Grupo lári, os dados geocronológicos e geoquímicos apresentados demonstram que essas seqüências não são contemporâneas e nem cogeneticas.

de Lamarão et. al. (2002), representa o contexto geológico da região.

predominantemente de antibólio biotita monzogranito, sendo caracterizado por apresentar dois conjuntos rochosos heterogêneos denominados de yonger São Jorge e older São Jorge.

Granito Maloquinha - Este pluton ocorre nas proximidades da seqüência vulcânica Moraes almieda, apresenta formato irregular, constituido de leucosienogranitos e leucomonzogranito, de tonalidades vermelha, isotrópicos. Magnetita e fluorita são acessórios comuns.

Granito Jardim de Ouro - Corpo mais homogêneo Constituido predominantemente por anfibólio-biotita monzogranito, isótropo ou com discreta foliação,

**Granitos pórfiros e Diques -** corpos de granitos pórfiros que cortam o pluton São Jorge, similares na mineralogia aos termos *older São Jorge*. Predominam monzogranitos. Jacobi (1999) correlacionou o depósito de São Jorge a estes pórfiros.

A petrografia e mineralogia dos granitóides esta sumarizada na materiale

### adiedes alexantegis dello estatis destille

older granito São Jorge e a sequência vulcânica Vila Riozinho apresentam teores de SiO<sub>2</sub> entre 54,5 e 75,1 wt%;

Os demais granitos estudados e a seqüência vulcânica Moraes Almeida têm o teor de SiO<sub>2</sub> entre 67,5 e 76,6 wt%.

Os granitos São Jorge e Jardim de Ouro e a seqüência vulcânica Vila Riozinho tem afinidades cálcio alcalinas caem no campo das vila de VAG), e foram interpretados como relacionadas a vila de VAG);

As amostras do granito Maloquinha e da seqüência vulcanica Moraes Almeida caem principalmente no campo dos granitos (WPG), são tardias, aluminosas, tipo A, com a granitogenese correspondente, datadas entre 1,89-1,87 Ga, foram correlacionadas a um episódio subseqüente de (entre 1,90 -1,87 Ga). Conforme modelo tectônico esquemático representado na (entre 1,90 -1,87 Ga).

Os dados mostram ainda que a história do vulcanismo proterozóico da porção leste da Província geocronológica Venturi - Tapajós, é mais complexo, com episódios recorrentes, a la complexo de la complexo.

#### 2.1.2 Caso 2 - Granifo Baraina

Juliani et. al. (2002) caracteriza o granito Batalha (1,88 Ga) como sendo tardio a pós colisional, apresentando-se intensamente alterado por fluidos hidrotermais pós magmáticos, seguido de metassomatismo precoce Na e K, com pervasiva propilitização e sericitização, e deposição de ouro.

O granito batalha foi classificado pelo autor supra citado como um sistema pórfiro Cu - Au, e evidencia o potencial existente para depósitos de baixo teor e grande volume.

mapa geológico da região de ocorrência do granito Batalha.

### 3. Segmento Alta Floresta

s; •

Este segmento da Província Aurífera Tapajós - Atta Floresta situa-se a sul do Grabén do Cachimbo, como uma faixa alongada na direção E-W (Regularia).

As principais regiões produtoras de ouro deste segmento (Alta Floresta) estariam posicionadas no limite das provincias Ventuari - Tapajós e Rio Negro - Juruena (\*\*\*).

A provincia de la composição de la compo

O embasamento deste segmento esta representado por terrenos granito gnáissicos de composição e natureza similares aos terrenos tipo TTG, descritos no segmento Tapajós, o que levou a correlacioná-los aos Granitóides Arqueanos (>2.500Ma), de Macambira et al. (1990).

No segmento Alta Floresta, no Estado de Mato Grosso, são reconhecidas, principalmente, assembléias graníticas com feições petrográficas e estruturais que as permite correlaciona-las a unidades denominadas Granitos e santes de la composiçõe de l

Paes de Barros (1994) correlaciona os Granitos Juruena na região de Peixoto de Azevedo - MT, aos Granitos Parauari (1,9-1,8 G.a), com as variedades petrográficas representadas principalmente por biotita monzogranitos e biotita granodioritos, estes de ocorrência pontual. São rochas leucrocráticas, isótropas, equigranulares de granulação média, e/ou porfiriticas, com cristais centimétricos de plagioclásio zonados.

Datações recentes efetuadas nas regiões de Peixoto de Azevedo-MT vem evidenciando uma relativa concentração de idades em torno de trata, sobretudo nas nas areas mineralizadas.

Dardene e Shobbenhaus (2001) propõem para as Províncias Auríferas Tapajós e Alta Floresta, uma importante época de geração de mineralizações auríferas entre associado a zonas de cisalhamento do final do Evento Transamazônico e as intrusões graníticas de tipo Matupá e Maloquinha (magmatismo Iriri)

## 3.1 Caso Granic Manub

Segundo Botelho e Moura, o Monzogranito Matupá constitui um maciço homogêneo, indeformado, equigranular a porfiritico, com características geoquímicas similares aos granitos de arcos vulcânicos (VAG) ou pós colisionais granitos (COLG), gerados na presença de uma crosta oceânica. Apresentam como minerais acessórios homblenda, biotita, titanita, magnetita, ilmenita rica em Fe³, pirita e feldspato K rosa.

O maciço matupá, de idade Ma, é um granito cálcio alcalino oxidado, similar aos granitos tipo I oxidados, descritos nos cinturões paleozóicos do oeste da Austrália.

O primeiro esta espacialmente associado a porções do maciço granítico Matupá que foram submetidas a alteração hidrotermal pervasiva. O primeiro evento metassomático, se caracteriza por microclinização pervasiva. Em seguida o granito microclinizado foi transformado por metassomatismo sódico com formação de albita pura, substituindo principalmente feldspato K. Swegue uma fase de cloritização e sericitização. Piritização foi a ultima e mais importante fase hidrotermal no depósito.

### 3.2 Aspectos geológicos de regiões auríferas do segmento Alta Floresta

## Região Garimpeira do

- Os dados da geoquímica de solo apresentaram valor threshold para ouro de 31,17 ppb
- Os granitos pré Uatumã, representados principalmente por biotita granitos a granodioritos, com hornblenda, biotita granitos porfiriticos e granitos pórfiros, apresentaram datações U/Pb com valores da ordem de Mar Ma, Ma Ma Ma.
- As mineralizações são essencialmente do tipo veios de quartzo, associadas a estruturas de cisalhamento, freqüentemente pouco sulfetados.

### Região garimpeira de Nova Minute

- A geoquímica de solo apresentou valor threshold para ouro de 20 ppb
- O embasamento esta representado por rochas graníticas, por vezes orientadas e granitos gnaisses com feições de recristalização e milonitização segundo a direção W-NW.
- Os granitos pré Uatumã, representados principalmente por biotita granodioritos, com hornblenda, granitos porfiriticos e monzogranitos. apresentaram datações U/Pb com valores da ordem de Man.
- Garimpo do Luizão ouro disseminado em granitos hidrotermalizados associado com py, ccp e bo.
- Garimpo do Pezão Ouro em rochas cataclásticas sulfetadas ( ZCD), com py, bo, calco pirita e malaquita.

Características petrográficas e mineralógicas dos granitóides da região da Tabela 3 Vila Riozinho - Pará. Fonte: Lamarão et. al. (2002)

	Mafic minerals	Accessory minerals	Secondary minerals	Mean magnetic susceptibility <sup>a</sup>	Oxygen fuga- city <sup>a</sup>	Amphibole <sup>b</sup>	Mg/ (Mg+Fe) in amph <sup>b</sup>	Biotite <sup>b</sup>	Mg/ (Mg+ Fe) in bt <sup>b</sup>	Plagioclase <sup>b</sup>
Older São Jorge granite					<u>., </u>	1			· ·· · · ·	
bt-amph monzodiorite/ quartz monzodiorite	> 20%	Zircon	Epidote	$20.9890 \times 10^{-3}$ Sly	Near	Mg-hastingsite	0.80- 0.75	Mg-bio- tite	0.59- 0.53	Andesine
		Titanite				Tschermakite	0.79- 0.71	200	0.55	
						Mg-hornblende				
Amph-bt quartz mon- zonite/monzogranite	7-12%	Apatite	Carbonate	$8.2262 \times 10^{-3}$ Sly	NNO and	Mg-hornblende	0.81- 0.64			(Andesine) oligoclase
bt leucomonzogranite/ syenogranite	< 5%	Magnetite	Chlorite	5.1634 × 10 <sup>-3</sup> Slv	НІТMQ	Rare	0.04		0.63 – 0.60	Oligociase al- bite
Granite porphyry	~ 10%	Ilmenite	Sericite	<b></b>	Buffers	Mg-hornblende	0.68- 0.59	Fe-bio- tite	0.45	Oligoclase
Younger São Jorge granite										
Amph-bt monzogranite	8~12%	Zircon, tita- nite, apatite	Chlorite, car- bonate, seri- cite	$7.9652 \times 10^{-3}$ SIv	Near NNO and HITMQ buffers	Mg-hornblende actinolite	0.81- 0.71	Mg-bio- tite	0.62- 0.57	(Andesine) oligoclase
bt leucomonzogranite	< 2%	Magnetite, il- menite	Cite	$2.6596 \times 10^{-3}$ Slv	omers	Rare				
Jardim do Ouro granite	7-8%	Zircon, tita- nite, apatite, magnetite	Chlorite, seri- cite, epidote	4.7988 × 10 <sup>-3</sup> Slv	Lower than in the São Jorge granites	Fe-hornblende	0.40- 0.33	Fe-bio- tite	0.32- 0.29	(Andesine) oligoclase
Maloquinha granite	1-4%	Magnetite, fluorite	Chlorite	$2.1534 \times 10^{-3}$ Siv	Near NNO buffer	Absent		Fe-bio- tite		Oligoclase, albite
Grantte porphyry	~ 10%	Zircon, tita- nite, apatite, magnetite	Chlorite, seri- cite, epidote		Lower than in the São Jorge granites	Fe-homblende	0.43- 0.40			andesine oli- goclase

bt, biotite; amph, amphibole.

Data from Figueiredo (1999).
 Based on data obtained by electron microprobe at the Geosciences Institute of the Federal University of the Rio Grande do Sul-UFRGS.

Fechar Msg anterior Próxima msg Exportar Mover para

QUOL ASSINE BATE-PARO BUSCA CENTRAL DO ASSINANTE DISCADOR INDICE FÓRUM SHOPPINO

Atenção: a senha do assinante do UOL é secreta. Nenhum funcionário do UOL está autorizado a soli © 1996-2003 UOL - O maior serviço online da América Latina. Todos os direitos reservados.

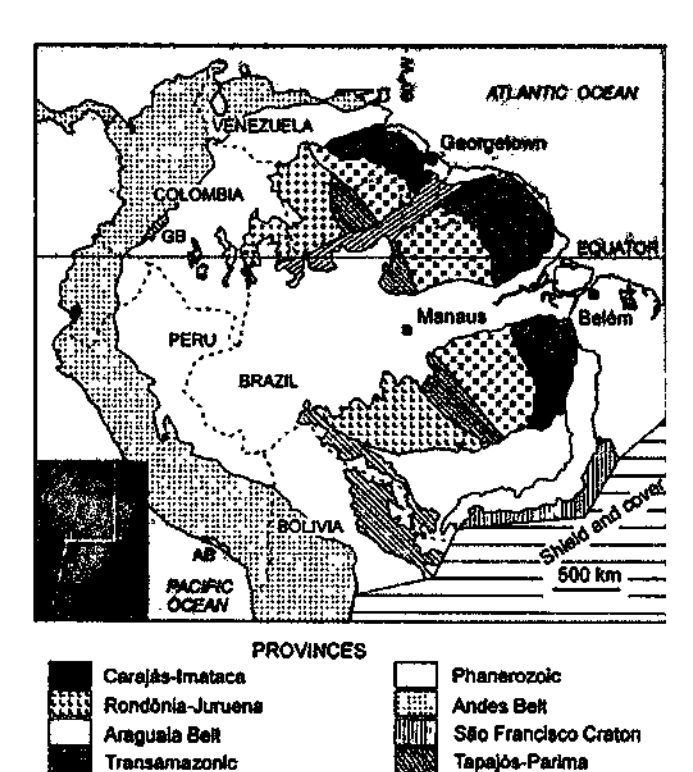


Fig. 3 Northern South America, showing major geotectonic units (Santos et al. 2000). AB Arequipa Block; GB Garzón Block

Sunsas

Rio Negro

K'Mudku

Central Amazon

complex are about 2.7 or 2.0 Ga (Onstott et al. 1989). Accreted are terranes formed the Carajás (Archean), Trans-Amazonic and Tapajós (Paleoproterozoic), and Juruena (Paleoproterozoic to Mesoproterozoic) Provinces. The Carajás Province is of major interest because of the large gold deposits; its greenstone belts and granitic rocks formed at 3.0 Ga and were deformed at about 2.8 Ga (Gibbs and Olzewski 1982; Machado et al. 1991; Pidgeon et al. 2000). Recycling of older crust formed the Central Amazon (a geological domain where Paleoproterozoic to Mesoproterozoic felsic volcanism predominates), Rio Negro, K'Mudku, and Sunsás Provinces (Fig. 2).

The Archean Carajás Province (3.0-2.7 Ga), and the Paleoproterozoic Trans-Amazonic Province (2.25-2.0 Ga), are mostly granitoid-greenstone terrains and contain the largest orogenic gold deposits in the Amazon Craton. Archean granite-greenstone terrains host the Salobo and Igarapé Bahia Cu-Au deposits in the Carajás Province, although the two deposits may be Proterozoic; reliable dating of these two deposits is required. The Vila Nova gold deposit in Brazil and the large Omai gold deposit in adjacent Guyana (Norcross et al. 2000) are sited within the Trans-Amazonic Province. The Juruena (1.75-1.47 Ga) and Tapajós (2.10-1.87 Ga) Provinces, are also essentially orogenic belts formed via terrane accretion (Tassinari and Macambira 1999; Santos et al. 2000). The Juruena Province has voluminous

low-grade metamorphic rocks of sedimentary origin, rhyolites and granites, including voluminous charnockites (Santos et al. 2000), and has some gold deposits. The Tapajós Province consists of voluminous tonalite-granodiorite-granite intrusions and a smaller amount of slate belts, and has been the source of major alluvial gold production (Santos et al. 2000).

Crustal recycling generated the Rio Negro Province at 1.86–1.52 Ga, and the Sunsas Province at 1.25–0.99 Ga (Tassinari and Macambira 1999; Santos et al. 2000). All provinces trend northwest, except for the K'Mudku Province, which is a 1.2 Ga shear belt that trends northeast across the Rio Negro, Tapajós, and Trans-Amazonic Provinces. Extensive late Paleoproterozoic to Mesoproterozoic magmatism, including emplacement of Rapakivi granites, is concentrated to form the Central Amazon Province, a major anorogenic plutonic-volcanic terrane (Dall'Agnol et al. 1999, Santos et al. 2000).

#### São Francisco Craton

The large São Francisco Craton of eastern Brazil (e.g., Teixeira and Figueiredo 1991), almost totally surrounded by Neoproterozoic Brasiliano Cycle belts (650–550 Ma), consists mostly of Archean and Paleoproterozoic granitoid-greenstone terrains with granitoids being dominant. A tonalite-trondhjemite-granodiorite (TTG) assemblage of gray orthogneisses is predominant in the craton and is partly covered by the metasedimentary rocks of the Espinhaço Supergroup (1.7 Ga) and São Francisco Supergroup (1.0 Ga). The craton was part of a larger Mesoproterozoic unit that included the West Congo Craton of Africa (e.g., Porada 1989; Ledru et al. 1994; Trompette 1994; Brueckner et al. 2000).

The basement in the craton is exposed mostly in its northern part, but a large window is also exposed in the southern sector, Quadrilátero Ferrifero Province and Guanhães Block, and in the northwest in the Dianópolis Block (e.g., Mascarenhas 1981; Nutman and Cordani 1993; Delgado et al. 1994). The central part of the craton is mostly covered by a Neoproterozoic carbonate platform, deposited on top of a Mesoproterozoic siliciclastic formation. The oldest part of the craton is the Sete Voltas granitic unit (~3.4 Ga), situated in the Contendas-Mirante greenstone belt in the Gavião Block. The Gavião Block, enclosed within the larger Lencóis Block, together contain the Contendas-Mirante, Imburanas, Ubiraçaba, and Mundo Novo greenstone belts (Mascarenhas and Silva 1994). The Mundo Novo greenstone belt contains the Jacobina Group, a deformed Paleoproterozoic foreland basin that hosts significant gold deposits in conglomerates (Ledru et al. 1997). The Contendas-Mirante and Mundo Novo greenstone belts and the Jacobina Group are located between the Jequié Block to the east and the Lençois-Gavião Block to the west. The Jequié Block comprises mainly Late fácies ricas em hematita, com reservas estimadas superiores a 100 Mt de minério com baixo teor Au. Essas fácies mineralizadas são encaixadas nas vulcânicas e nos sedimentos que preenchem a estrutura em colapso de uma caldeira centrada sobre uma intrusão de granito com tendência alcalina tipo Maloquinha (Fig. 44).

Em contraposição, Delgado et al. (2000) observaram que existe um estreito relacionamento espacial entre os campos auríferos, as fácies graníticas e granodioríticas da Suíte Parauari e as rochas gabróicas da Suíte Ingarana. As mineralizações de ouro estão hospedadas, tanto nas rochas granitóides e gabróicas, como em rochas metamórficas mais antigas, na periferia dessas intrusões. Os veios de quartzo-sulfetos portadores de ouro, colocados em regime rúptil-dúctil, estão relacionados às intrusões granodioríticas (Chico Torres, Pacuí, Marupá), enquanto os depósitos de regime rúptil do tipo Veio e Stockwork estão, em sua maioria, associados a intrusões graníticas (Batalha, Arroz Branco, Serra do Bico), ou a rochas vulcânicas ou subvulcânicas correlatas (Fazenda Pison, 12 de Outubro, São Felix, Coatá), ou a rochas gabróicas (Jutaí, Davi). Os depósitos do tipo Stockwork de Jutaí (em gabros), Nova Chico Torres (em granodioritos), Fazenda Pison, São Felix e Coatá (em andesitos e tufos), independentemente da rocha hospedeira

são distribuídos geometricamente em volta de batólitos da Suíte Parauari. Esses autores ainda destacam o controle das mineralizações de ouro associado a um metalotecto estrutural – o sistema de falhas Tapajós do tipo *strike-slip*, de direções NW-SE e NNW-SSE.

Por outro lado, Delgado et al. (2000) consideram que existem poucos veios de quartzo auríferos nos granitóides da Suíte Maloquinha (Batalha, Penedo, Mamoal), os quais são extensionais, maciços ou com estrutura comb. Alguns poucos corpos dessa suíte têm relação proximal com pequenos campos de mineração de ouro, onde as mineralizações estão hospedadas em litologias da Suíte Parauari (Serra do Bicó; extremo norte do Distrito Pacú). Em conclusão, os referidos autores salientam a ausência de uma relação consistente entre os principais campos mineralizados e a Suíte Maloquinha, sugerindo que a sua influência na concentração de ouro na Província Tapajós é muito restrita.

Mais de 90% do ouro produzido na Província Tapajós foram extraídos de milhares de placeres que geraram cerca de 159 t de ouro entre 1959 e 1996. Garimpos do tipo Cuiu-Cuiú, Canta Galo, Abacaxis e Patrocínio são exemplos clássicos desses grandes sistemas de placeres auríferos recentes. O ouro é encontrado também em paleoplaceres (terciários) extremamente ricos, 10-20 m abaixo da super-

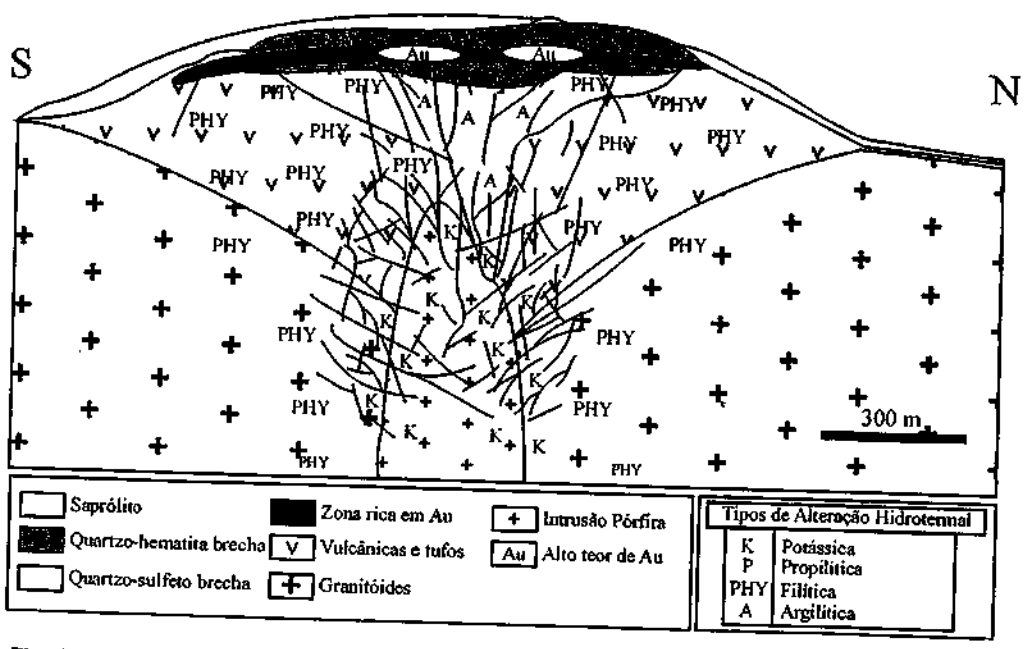
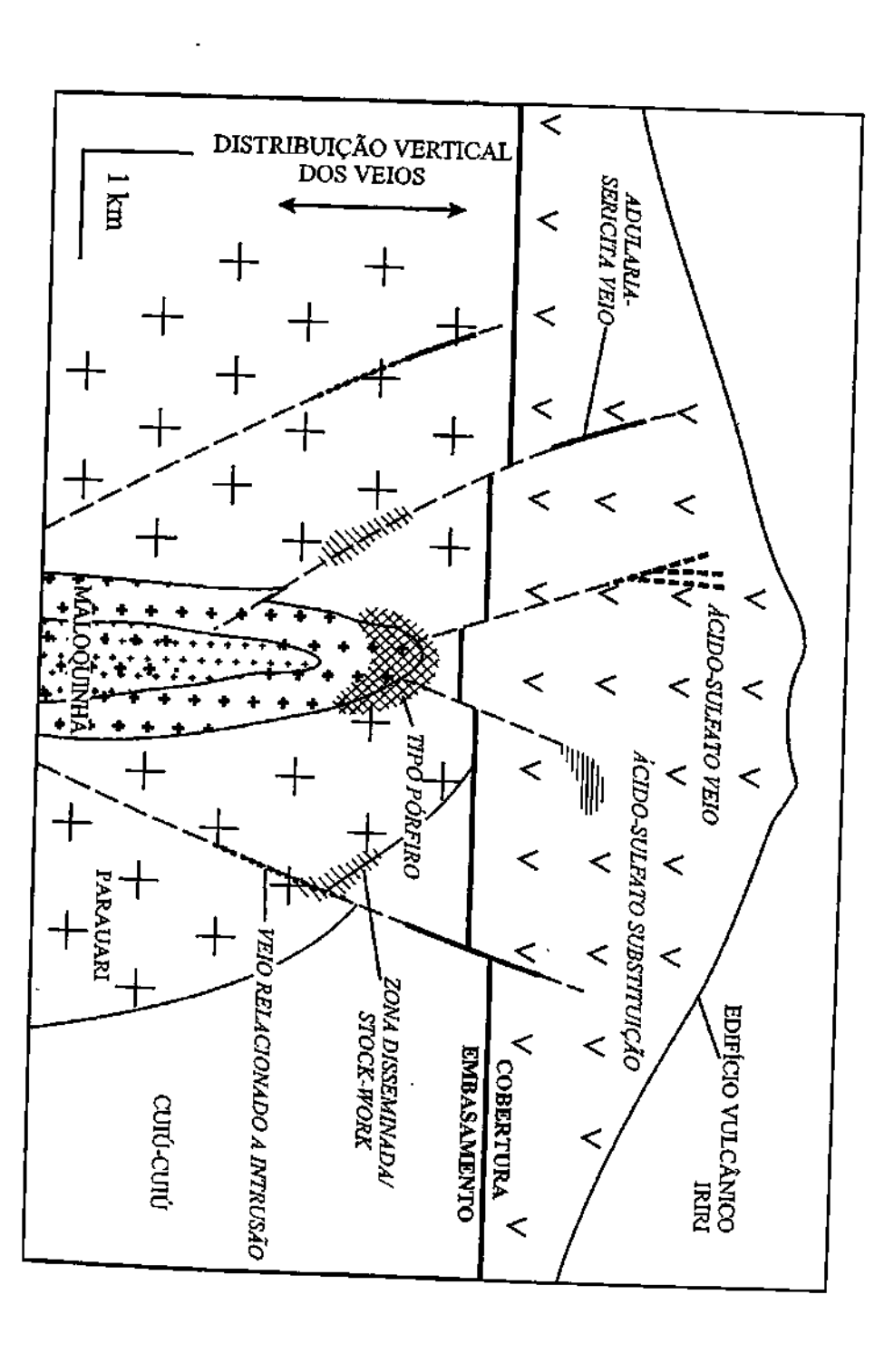


Fig. 44 - Seção esquemática do depósito epitermal V3 (segundo Jacobi, 1999).





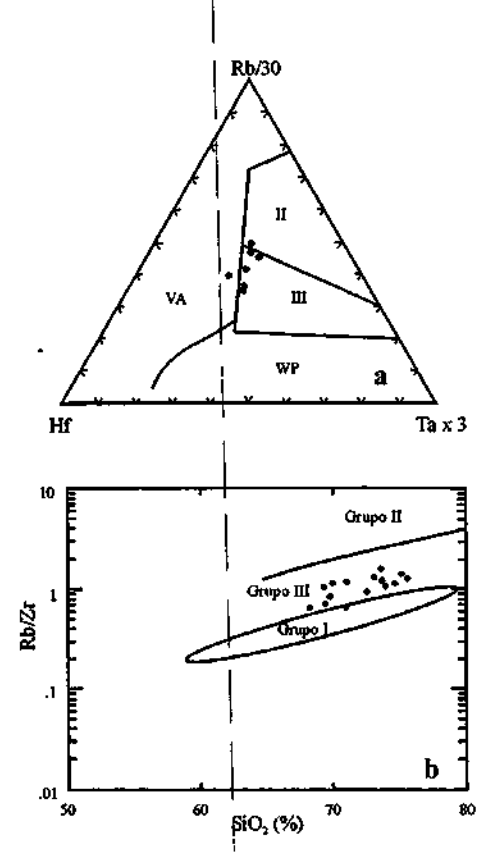
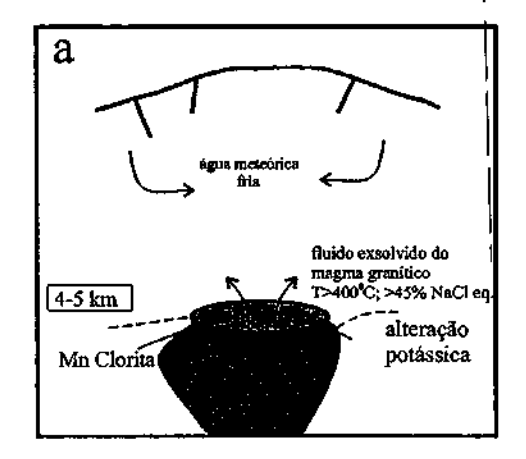


Fig. 47 — Distribuição das amostras do Granito Matupá nos diagramas de Harris et al. (1986). (a): a co vulcânico (VA), intraplaca (WP), sincolisional (II) e tardi a pós-colisional (III); (b): Grupo I (arco vulcânico), Grupo II (sincolisional) e Grupo III (tardi a pós-colisional).



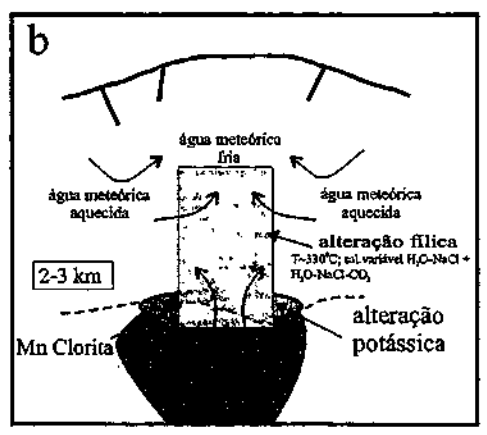


Fig. 48 – Modelo de circulação dos fluidos para o Depósito Au Serrinha no Granito Matupá (segundo Moura, 1998).

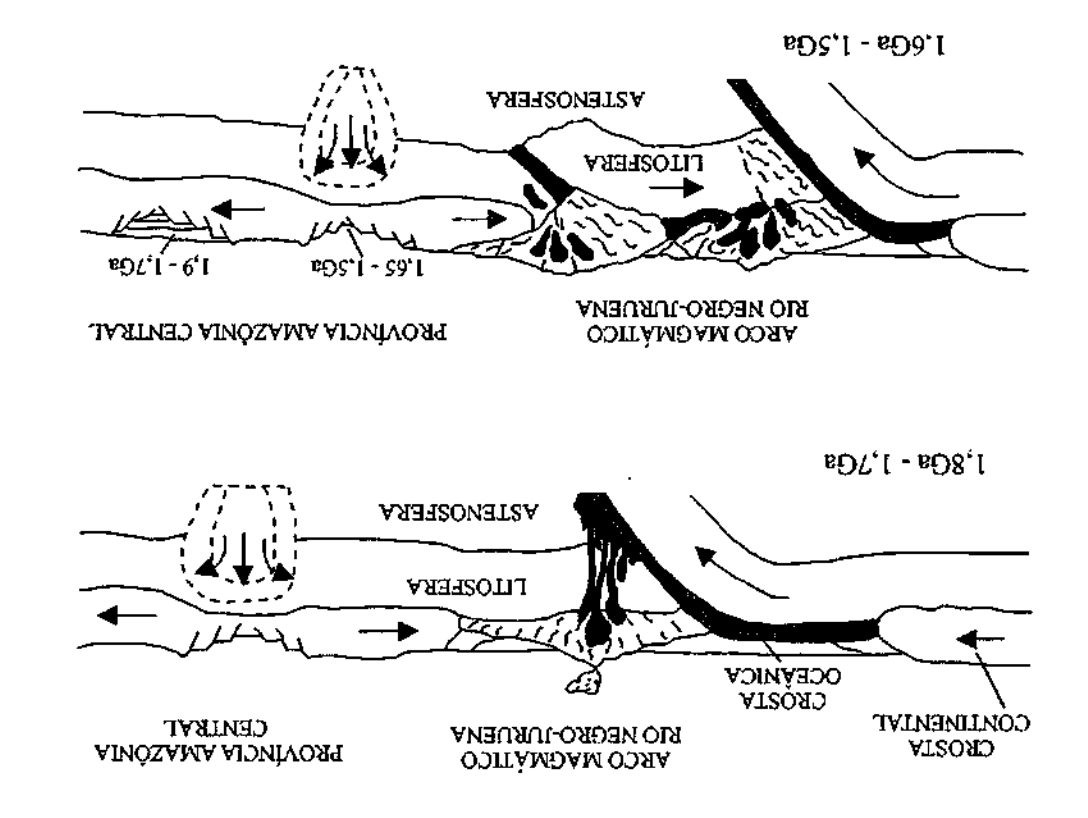


Fig. 46 - Modelo tectônico para o desenvolvimento da Orogênese Rio Negro-Juruena, Cráton Amazônico (segundo Tassinari et al., 1996)

rência de Serrinha do Guaranta há mineralizações em forma de veios encaixadas em talco-clorita-xistos que constituem megaenclaves de natureza ultramáfica.

Depósitos vinculados a apófises e stocks granfucos, frequentemente relacionados ao magmatismo Teles Pires, ocorrem, como veios venulacões e acorrem.

ouro, tanto aluvionares quanto primárias, são amplamente distribuídas na província, por mais de 500 km, em especial ao longo da borda sul do Gráben do Cachimbo, com direção WNW. A maioria dessas mineralizações é ainda pouco estudada. A explotação iniciou-se em 1966, com a descoestudada. A explotação iniciou-se em 1966, com a descoberta de ouro, nor earimmeiros, no Rio Juntena. As produ-

ice filling

ita proxi-1), ou de doto-calt-sulfeto-

lhas rúps sendo as (Bom sicas de a crosta,

reios da

nedeiras:
1a (Bom
1caxis);
1a (Bom
1caxis);
1amor
1 assim
1 que os
1 rasos,
0s pró-

:sar da is ida-: simimais 6).

oauni

i que
retare os
geral do
ção
ride
do
nos

nto
ase
6),
bis

10

0-

a

e

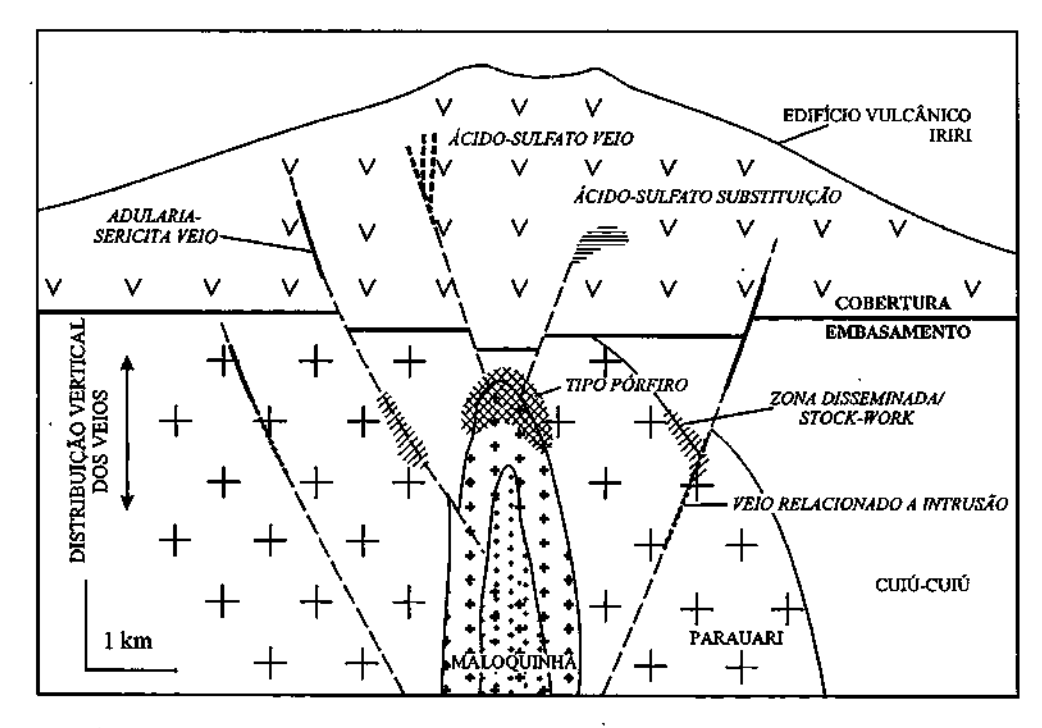


Fig. 43 – Modelo geológico esquemático de um sistema hidrotermal aurífero centrado sobre uma intrusão granítica do tipo Maloquinha (segundo Robert, 1996).

os veios de quartzo são relacionados ao evento magmático Iriri-Maloquinha, eles não são abundantes na cobertura vulcânica Iriri. A tendência é a de que ocorram nas unidades litológicas, abaixo dessa cobertura e dentro das intrusões Maloquinha.

A presença de zonas de sulfetos auríferos disseminados no granodiorito de Abacaxis, e de stockwork fracos e moderados em Jutaí e em São Jorge, é altamente significativa. Mostra que a mineralização disseminada, e na forma de stockwork, geralmente associada com ambiente "pórfiro" (Sillitoe, 1991 apud Robert, 1996), pode representar um alvo de exploração válido para a Província Tapajós. Em Abacaxis, o granodiorito hospedeiro da mineralização sulfetada disseminada é intrusivo nos arenitos e nos siltitos não-metamórficos, os quais são considerados como equivalentes laterais das vulcânicas Iriri. Isso implicaria que o granodiorito pertence à Suíte Intrusiva Maloquinha, e que a mineralização disseminada pode ter a mesma idade dos veios de quartzo.

Como anteriormente referido, os veios de quartzo têm afinidades epitermais. Mais especificamente, eles têm várias características comuns aos depósitos epitermais do tipo adulária-sericita (Heald et al. 1987 apud Robert, 1996).

Esses incluem alteração de K-feldspato/sericita/clorita; fraca sulfetação nos veios (esfalerita, calcopirita, galena); presença de hematita e adulária (Jacobi, 1999; Dreher et al. 1998) em alguns veios; falta de alunita hipógena, enargita-tenantita e argilização avançada. No entanto, os veios de Tapajós têm alguns poucos pontos que os afastam do clássico modelo do tipo adulária-sericita: os veios ocorrem predominantemente no embasamento em relação à cobertura vulcânica; muitos são polimetálicos e não mostram uma separação vertical de metais básicos e preciosos, como enfatizado por Buchanan (1981 apud Robert, 1996). Os veios têm alguma similaridade com o que Sillitoe (1991 apud Robert; 1996) denominou de veios relacionados a plutões, que são transicionais, em caráter, entre os veios epitermais com adulária-sericita e os veios mesotermais, e ocorrem em profundidade um pouco maior que a dos veios epitermais. Jacobi (1999) assinala uma série de ocorrências Au-Cu-Mo-Ag com características de depósitos epitermais, onde a mineralização (anomalia V3) é associada a brechas silicificadas ricas em pirofilita e em hematita, e a brechas silicificadas ricas em pirofilita e em sulfetos disseminados, com pirita predominante. Segundo o referido autor, a mineralização principal (Au) encontra-se nas

ox

ice filling

ita proxia), ou de doto-calt-sulfeto-

lhas rúpos sendo as (Bom picas de a crosta, veios da

pedeiras: ha (Bom acaxis); etamor-, assim que os ; rasos,

sar da is idasimimais 6).

os pró-

irupo
i que
retaie os
gerail do
cção
nde
i do
nos
os
nto
ise
6),

)is

۸.

10

a

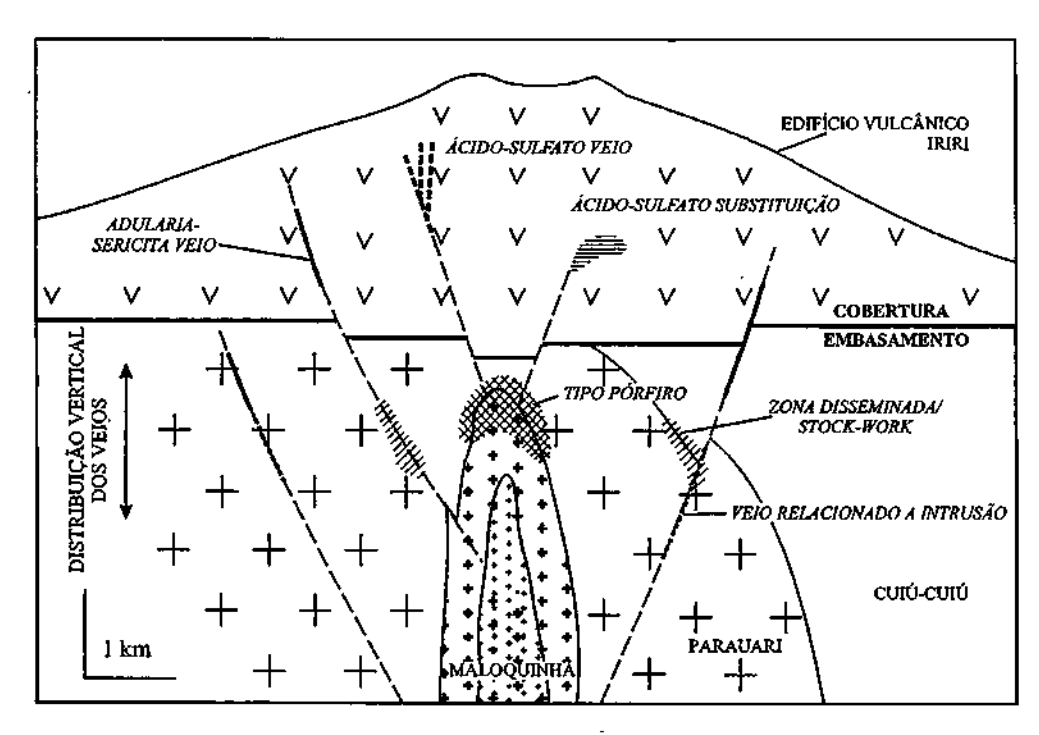


Fig. 43 – Modelo geológico esquemático de um sistema hidrotermal aurífero centrado sobre uma intrusão granítica do tipo Maloquinha (segundo Robert, 1996).

os veios de quartzo são relacionados ao evento magmático Iriri-Maloquinha, eles não são abundantes na cobertura vulcânica Iriri. A tendência é a de que ocorram nas unidades litológicas, abaixo dessa cobertura e dentro das intrusões Maloquinha.

A presença de zonas de sulfetos auríferos disseminados no granodiorito de Abacaxis, e de stockwork fracos e moderados em Jutaí e em São Jorge, é altamente significativa. Mostra que a mineralização disseminada, e na forma de stockwork, geralmente associada com ambiente "pórfiro" (Sillitoe, 1991 apud Robert, 1996), pode representar um alvo de exploração válido para a Província Tapajós. Em Abacaxis, o granodiorito hospedeiro da mineralização sulfetada disseminada é intrusivo nos arenitos e nos siltitos não-metamórficos, os quais são considerados como equivalentes laterais das vulcânicas Iriri. Isso implicaria que o granodiorito pertence à Suíte Intrusiva Maloquinha, e que a mineralização disseminada pode ter a mesma idade dos veios de quartzo.

Como anteriormente referido, os veios de quartzo têm afinidades epitermais. Mais especificamente, eles têm várias características comuns aos depósitos epitermais do tipo adulária-sericita (Heald et al. 1987 apud Robert, 1996).

Esses incluem alteração de K-feldspato/sericita/clorita; fraca sulfetação nos veios (esfalerita, calcopirita, galena); presença de hematita e adulária (Jacobi, 1999; Dreher et al. 1998) em alguns veios; falta de alunita hipógena, enargita-tenantita e argilização avançada. No entanto, os veios de Tapajós têm alguns poucos pontos que os afastam do clássico modelo do tipo adulária-sericita: os veios ocorrem predominantemente no embasamento em relação à cobertura vulcânica; muitos são polimetálicos e não mostram uma separação vertical de metais básicos e preciosos, como enfatizado por Buchanan (1981 apud Robert, 1996). Os veios têm alguma similaridade com o que Sillitoe (1991 apud Robert, 1996) denominou de veios relacionados a plutões, que são transicionais, em caráter, entre os veios epitermais com adulária-sericita e os veios mesotermais, e ocorrem em profundidade um pouco maior que a dos veios epitermais. Jacobi (1999) assinala uma série de ocorrências Au-Cu-Mo-Ag com características de depósitos epitermais, onde a mineralização (anomalia V3) é associada a brechas silicificadas ricas em pirofilita e em hematita, e a brechas silicificadas ricas em pirofilita e em sulfetos disseminados, com pirita predominante. Segundo o referido autor, a mineralização principal (Au) encontra-se nas

K

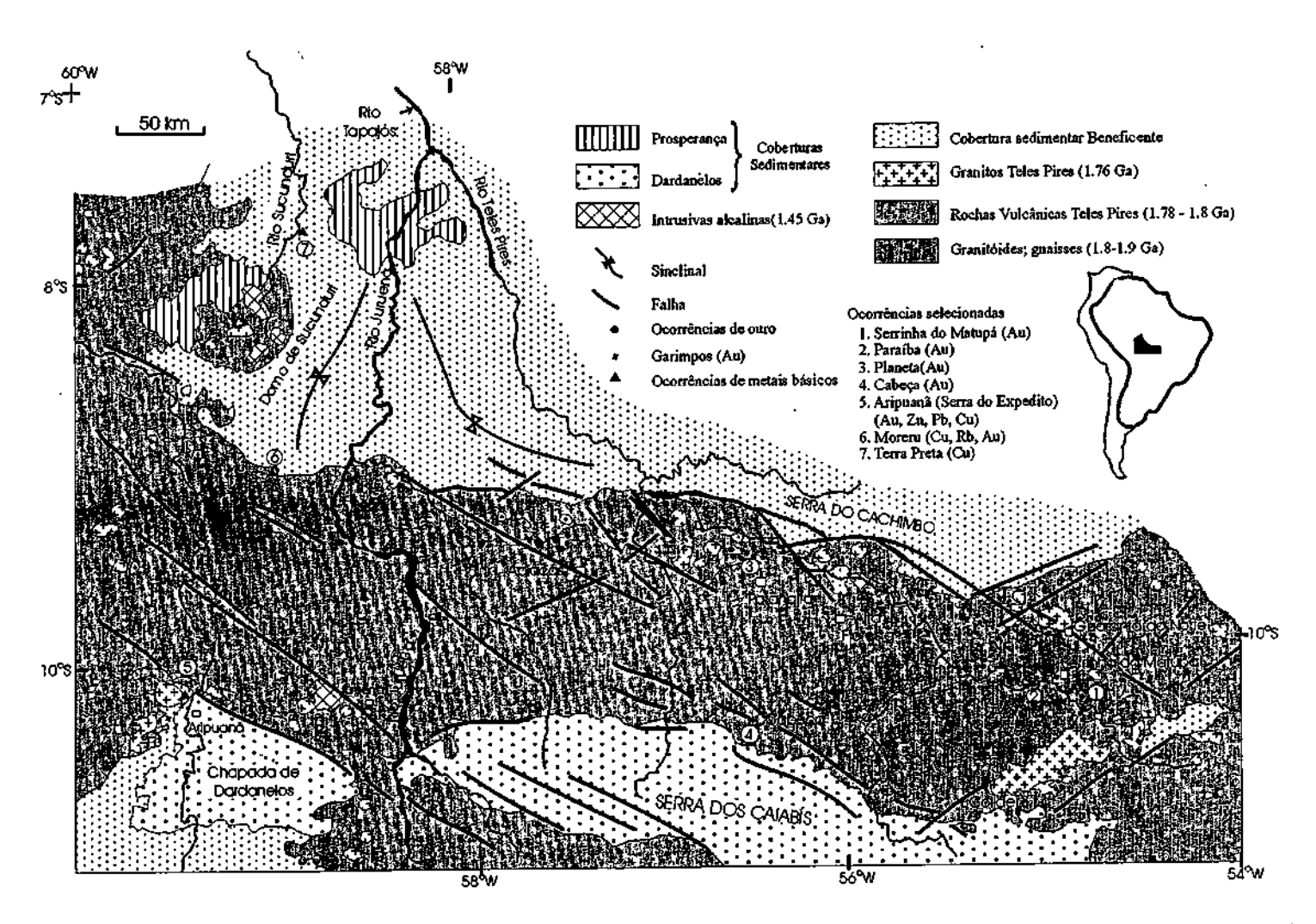


Fig. 45 – Mapa geológico simplificado da Província Alta Floresta no Escudo Brasil-Central (segundo Schobbenhaus et al., 1981; Jica-MMAJ, 1999; Carvalho e Figueiredo, 1982; Paes de Barros et al., 1999).

fácies ricas em hematita, com reservas estimadas superiores a 100 Mt de minério com baixo teor Au. Essas fácies mineralizadas são encaixadas nas vulcânicas e nos sedimentos que preenchem a estrutura em colapso de uma caldeira centrada sobre uma intrusão de granito com tendência alcalina tipo Maloquinha (Fig. 44).

Em contraposição, Delgado et al. (2000) observaram que existe um estreito relacionamento espacial entre os campos auríferos, as fácies graníticas e granodioríticas da Suíte Parauari e as rochas gabróicas da Suíte Ingarana. As mineralizações de ouro estão hospedadas, tanto nas rochas granitóides e gabróicas, como em rochas metamórficas mais antigas, na periferia dessas intrusões. Os veios de quartzo-suifetos portadores de ouro, colocados em regime níptil-dúctil, estão relacionados às intrusões granodioríticas (Chico Torres, Pacuí, Marupá), enquanto os depósitos de regime rúptil do tipo Veio e Stockwork estão, em sua maioria, associados a intrusões graníticas (Batalha, Arroz Branco, Serra do Bico), ou a rochas vulcânicas ou subvulcânicas correlatas (Fazenda Pison, 12 de Outubro, São Felix, Coatá), ou a rochas gabróicas (Jutaí, Davi). Os depósitos do tipo Stockwork de Jutaí (em gabros), Nova Chico Torres (em granodioritos), Fazenda Pison, São Felix e Coatá (em andesitos e tufos), independentemente da rocha hospedeira

são distribuídos geometricamente em volta de batólitos da Suíte Parauari. Esses autores ainda destacam o controle das mineralizações de ouro associado a um metalotecto estrutural – o sistema de faihas Tapajós do tipo strike-slip, de direções NW-SE e NNW-SSE.

Por outro lado, Delgado et al. (2000) consideram que existem poucos veios de quartzo auríferos nos granitóides da Suíte Maloquinha (Batalha, Penedo, Mamoal), os quais são extensionais, maciços ou com estrutura comb. Alguns poucos corpos dessa suíte têm relação proximal com pequenos campos de mineração de ouro, onde as mineralizações estão hospedadas em litologias da Suíte Parauari (Serra do Bicó; extremo norte do Distrito Pacú). Em conclusão, os referidos autores salientam a ausência de uma relação consistente entre os principais campos mineralizados e a Suíte Maloquinha, sugerindo que a sua influência na concentração de ouro na Província Tapajós é muito restrita.

Mais de 90% do ouro produzido na Província Tapajós foram extraídos de milhares de placeres que geraram cerca de 159 t de ouro entre 1959 e 1996. Garimpos do tipo Cuiu-Cuiú, Canta Galo, Abacaxis e Patrocínio são exemplos clássicos desses grandes sistemas de placeres auríferos recentes. O ouro é encontrado também em paleoplaceres (terciários) extremamente ricos, 10-20 m abaixo da super-

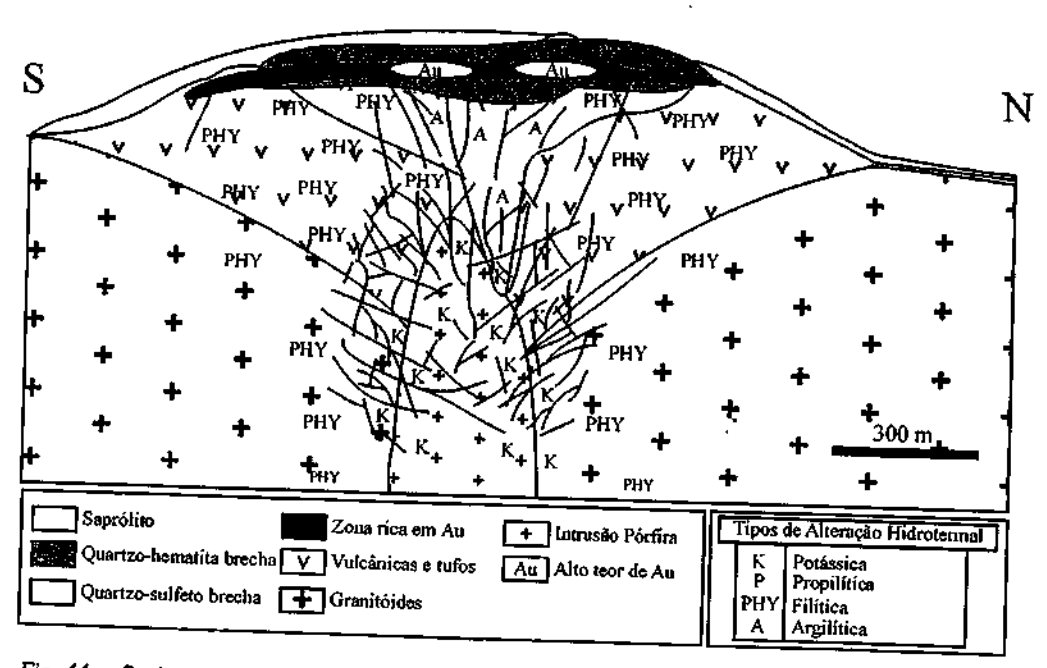


Fig. 44 - Seção esquemática do depósito epitermal V3 (segundo Jacobi, 1999).

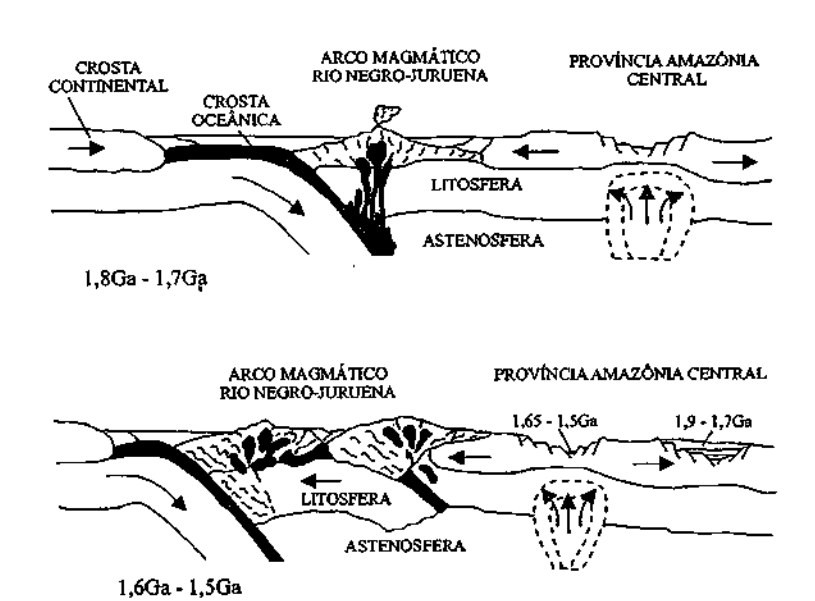


Fig. 46 – Modelo tectônico para o desenvolvimento da Orogênese Rio Negro-Juruena, Cráton Amazônico (segundo Tassinari et al., 1996)

ouro, tanto aluvionares quanto primárias, são amplamente distribuídas na província, por mais de 500 km, em especial ao longo da borda sul do Gráben do Cachimbo, com direção WNW. A maioria dessas mineralizações é ainda pouco estudada. A explotação iniciou-se em 1966, com a descoberta de ouro, por garimpeiros, no Rio Juruena. As produções oficial e estimada de garimpos em depósitos aluvionares, entre 1982 e 1995 (DNPM), foram de 112 t e 148 t de ouro, respectivamente (áreas de Peixoto de Azevedo, Colider, Matupá, Terra Nova do Norte, Guarantã do Norte, Alta Floresta, Apiacás, Paranaíta e Aripuanã).

Paes de Barros *et al.* (1999) dividiram as ocorrências de mineralizações de ouro em quatro diferentes distritos: Peixoto de Azevedo, Teles Pires, Cabeça e Aripuanã.

Segundo esses autores, na área de Peixoto de Azevedo, que se estende da região do entorno dessa cidade até a região de Alta Floresta, importantes mineralizações de ouro estão alojadas em bandas de cisalhamento e em estruturas extensionais de direção NNW e WNW. As zonas de cisalhamento dúcteis podem ser caracterizadas como persistentes lineamentos sustentados principalmente por quartzomilonitos com desenvolvimento de ampla alteração pervasiva do tipo silicificação, cloritização, sericitização, epidotização e propilitização. Dezenas de mineralizações estão alojadas em fraturas de cisalhamento, como nas ocorrências de Paraíba, Cubu, Pezão, Edu, Edson Goiano, Mineiro e outros. Na ocor-

rência de Serrinha do Guarantă há mineralizações em forma de veios encaixadas em talco-clorita-xistos que constituem megaenclaves de natureza ultramáfica.

Depósitos vinculados a apófises e stocks graníticos, frequentemente relacionados ao magmatismo Teles Pires, ocorrem como veios, venulações e stockworks, como nos garimpos de Pé Quente, Trairão, Aluizio, Naiuram, dentre outros. A área de Teles Pires (Paes de Barros et al. 1999) distribui-se em uma faixa de direção EW a NW-SE desde Paranaita, passando por Apiacás, até o Rio Juruena, por mais de 200 km de extensão. De forma geral, as mineralizações nessa região relacionam-se a uma assembléia granítica pré-magmatismo Teles Pires, configurando corpos batolíticos representados por biotita monzogranitos equigranulares cinza-claros. Nas proximidades das zonas mineralizadas ocorrem, nas fácies mais alteradas, grandes cristais de quartzo azulado associado a uma paragênese de epidoto, clorita e pirita. As mineralizações auríferas conhecidas aparecem na forma de veios de quartzo sulfetados e de disseminações alojadas em bandas de cisalhamento múltiplas e pouco espaçadas. Um outro contexto das mineralizações ocorre na região garimpeira do Planeta, onde as mineralizações de ouro estão posicionadas na zona de contato de biotita granito Teles Pires com granitos do embasamento. Constatou-se também mineralização associada a subvulcânicas ácidas com bolsões e disseminações de pirita com teores superiores a 10 g/t.

Um magdiversos se cráton

nericana
o a fragsilianas.
e Brasidiversos
eu até o lação da
, 1981).
amento
óicas —
Paraná
zóicas/
\_'ainelli
o fore-

essa ta de nplirtura us e ) do ; de lcaftiao a a

go do

\_árle e

iau

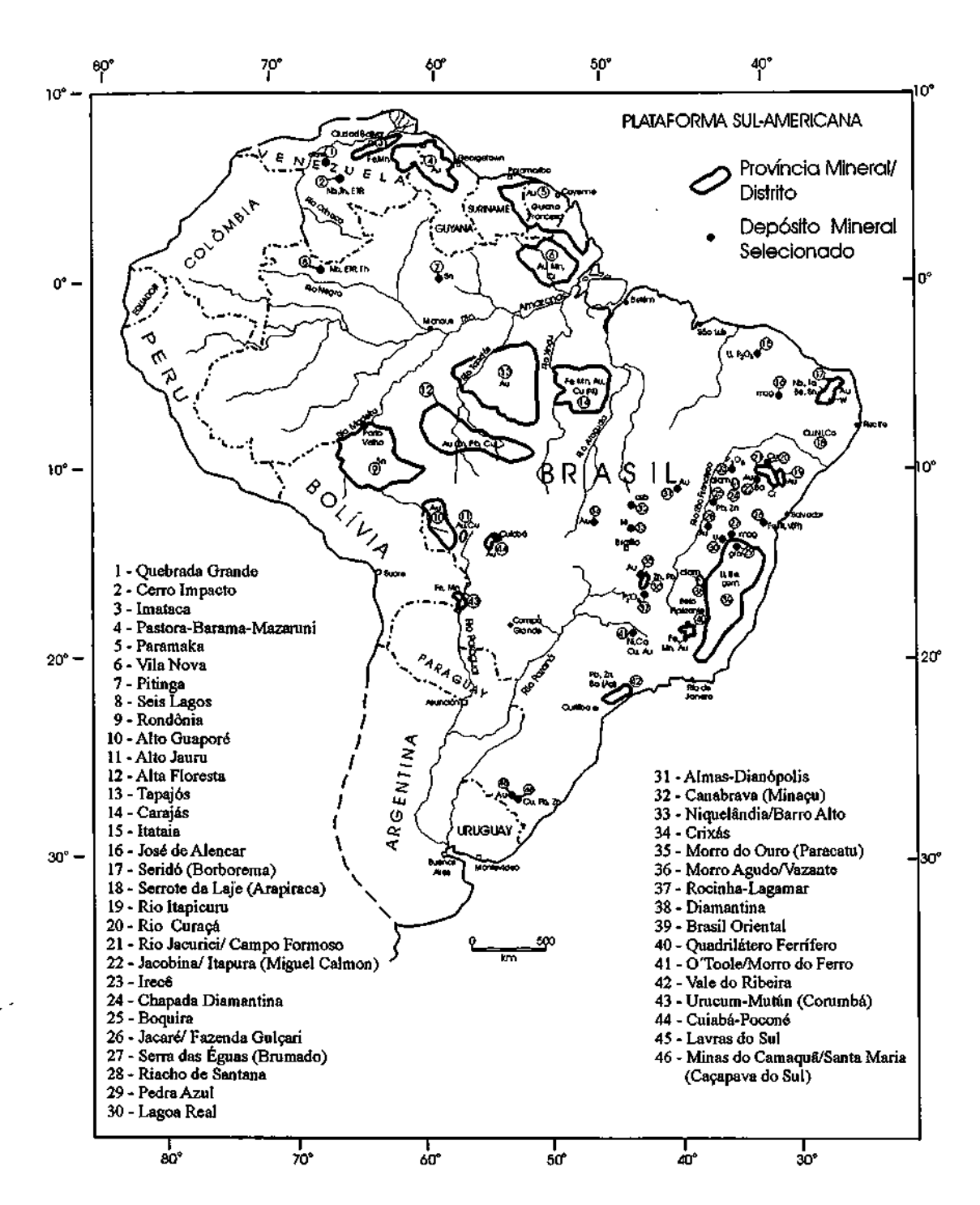
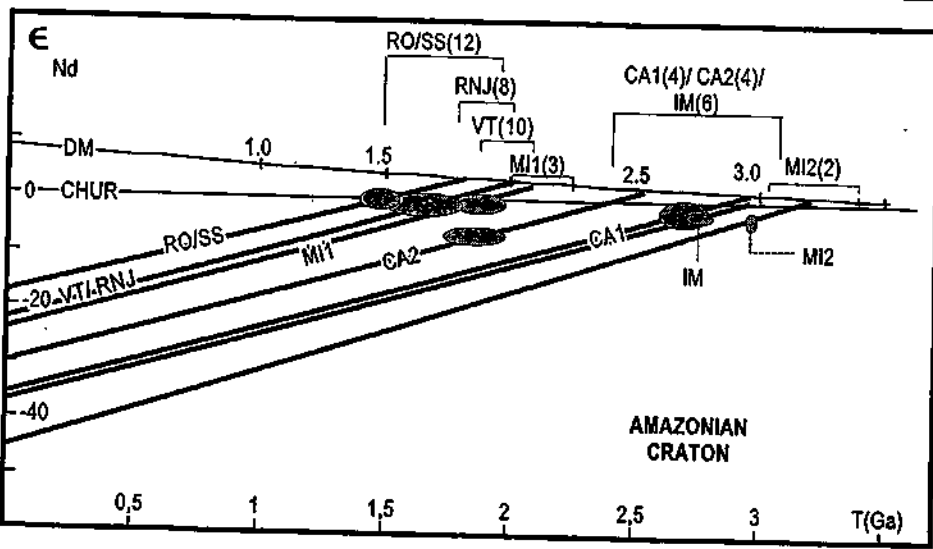


Fig. 3 – Distribuição das principais províncias minerais pré-cambrianas e dos depósitos minerais selecionados na Plataforma Sul-Americana. Fontes referidas no texto. Abreviações: asb. – asbesto; diam. – diamante; gem. – gemas; gra. – grafita; mag. – magnesita; ETR – Terras Raras.



CRUSTAL EVOLUTION OF THE SOUTH AMERICAN PLATFORM

FIGURE 4 - Diagram of Md isotope evolution for the Amasonian Craton. 'Central Amazonian (CA1 and CA2); Imataca (IM); Maroni-Itacaiúnas (MI1 and MI2); Ventuari-[apajós (VT); Rio Negro-furuena (RNI); Yondonian-San Ignacio RO); Sunsás (SS).



ned during 1999. They show the evolution during gical time of the Nd isotope composition of different of granitoid rock, representative of important units 1 the various geotectonic domains of the South can Platform. All diagrams include both the mantle on curve (CHUR, where  $\epsilon_{\rm Nd} = {\rm zero}$ ) and the depleted (DM) evolution curve. Oblique lines plotted across 1s of the diagrams are related to different groups of d rock, characterized by Nd isotope determinations isplay a reasonably coherent pattern. Such lines :average tendency of each group. In the figures, the resent-day  $\epsilon_{\rm Nd(rer)}$  value, always negative, is plotted t end of each straight line.

lopes of the oblique lines correspond to the general the samples analysed. In all cases the <sup>147</sup>Sm/<sup>144</sup>Nd ted to such trends are close to 0.11, typical of the of the so-called single-stage differentiation from ontinental crust. Samples with <sup>147</sup>Sm/<sup>144</sup>Nd outside .088 and 0.125 were not included, in order to avoid nost certainly not formed in a "single stage" event. lines, radiometric ages of each unit, obtained by t U/Pb methods, were indicated by small circles, lrawn to represent roughly the spread in age and values obtained in the analytical work. Finally, for units, the spread in the calculated Sm/Nd T<sub>DM</sub> was also indicated at the top of each diagram, DM evolution line, together with the actual mples belonging to each group.

### mary of the Isotopic straints on Crustal ution

#### Amazonian Craton

The Amazonian Craton is one of the largest cratonic areas of the world, situated in the northern part of South America. Teixeira et al. (1989), as well as Tassinari and Macambira (1999) reviewed its geotectonic evolution, and summarized the geochronological control. The craton can be subdivided into six major domains, very coherent in their geochronological patterns, the boundaries of which are shown in Figure 1. Geochronology has been crucial for the understanding of the crustal evolution of the entire region, because the general geological knowledge remains at reconnaissance level due to the abundant soil and vegetation cover.

The older parts of the craton are the Carajás-Iricoumé and the Roraima blocks, which belong to the Central Amazonian Province (CA in Figure 1). They correspond to regions with demonstrated or assumed Archean basement, covered by Proterozoic volcano-sedimentary cratonic sequences. Paleoproterozoic orogenies are typically developed at the border zones of this province, and their products are well represented in the northern and northeastern sides by the Maroni-Itacajúnas Mobile Belt (MI in Figure I). This is the site of amalgamation of at least three large continental masses at around 2.2 to 1.9 Ga: the Central Amazonian Province, the West African Craton and the Imataca Terrane. Part of the Maroni-Itacaiúnas Belt appears to have evolved from mantle-derived material, whereas other parts are likely to be recycled older crust. The Imataca Terrane is a possibly allochtonous crustal fragment formed by Archean high-grade metamorphic rocks, which suffered the effects of the Transamazonian Orogeny.

On the southwestern side of the Central Amazonian Province a Paleo-Mesoproterozoic continental crust began to be accreted to the continent through a series of successive magmatic arcs, producing the juvenile material of the Ventuari-Tapajós (2.0 to 1.9 Ga) and the Rio Negro-Juruena (1.8 to 1.5 Ga) tectonic provinces. (VT and RNJ in Figure 1). It is noteworthy that while continents collided in one side, during the so-called Transamazonian Orogeny, producing

COLOMBO C. G. TASSINARI, JORGE S. BETTENCOURT, MAURO C. GERALDES, MOACIR J. B. MACAMBIRA, AND JEAN M. LAFON

Table 14 - Granitoids of Rondonia Tin Province major units U/Pb and Sm/Nd results (after Bettencourt et al., 1999a).

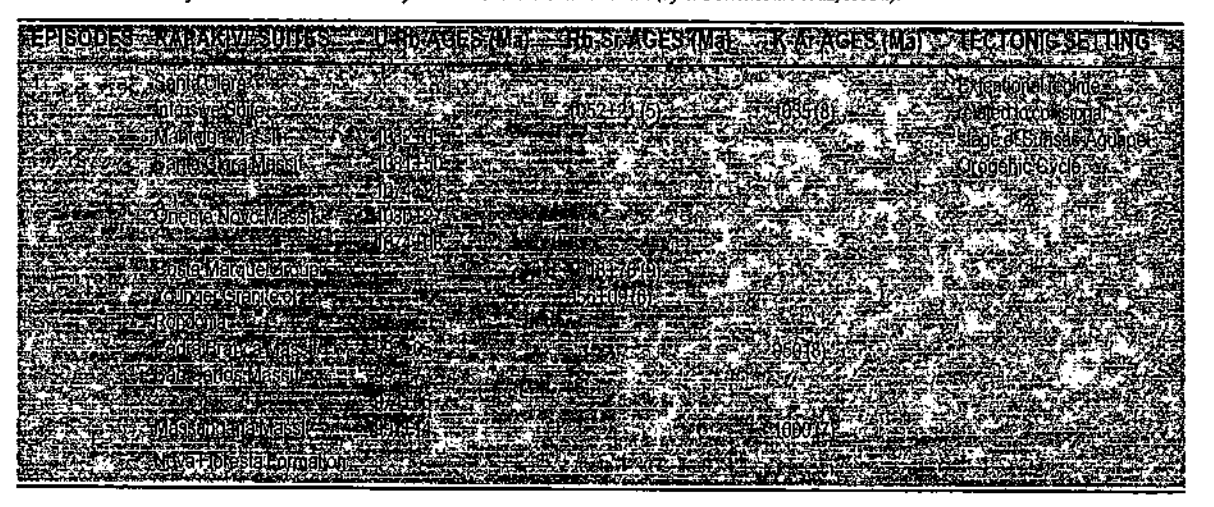
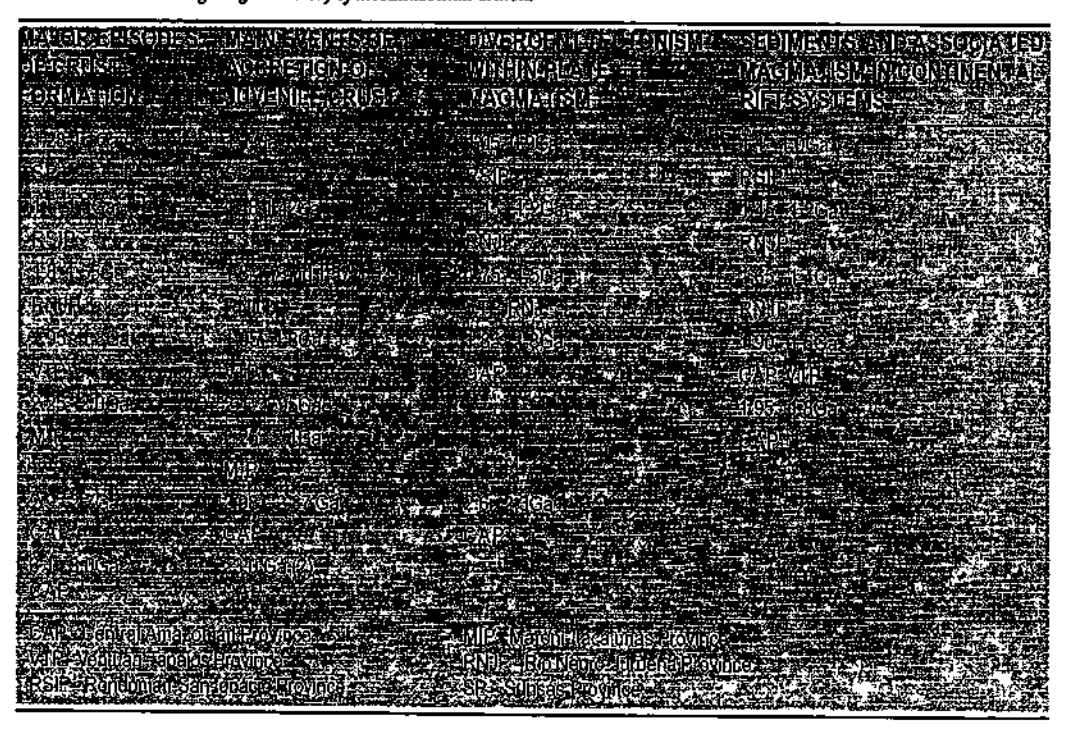


Table 15 - Precambrian geological history of the Amazonian Craton.



COLOMBO C. G. TASSINARI, JORGE S. BETTENCOURT, MAURO C. GERALDES, MOACIR J. B. MACAMBIRA, AND JEAN M. LAFON

Table 13 - U/Pb and Sm/Nd properties of the Nova Brasilàndia group major units (after Rizzoto, 1999).

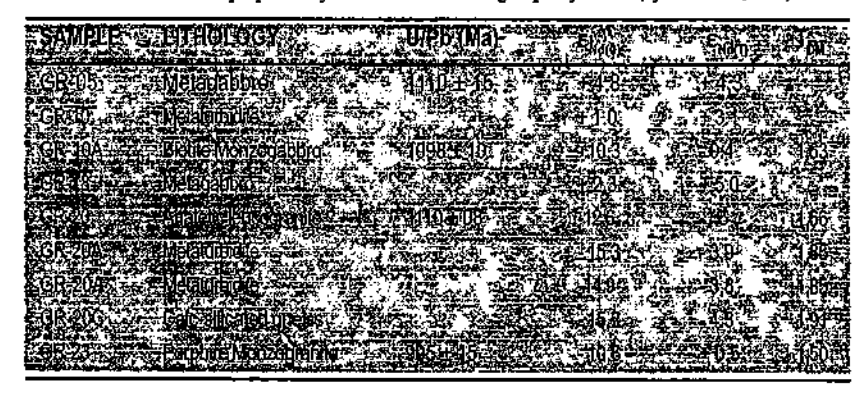


Table 14 - Granitoids of Rondônia Tin Province major units U/Pb and Sm/Nd results (after Bettencourt et al., 1999a).

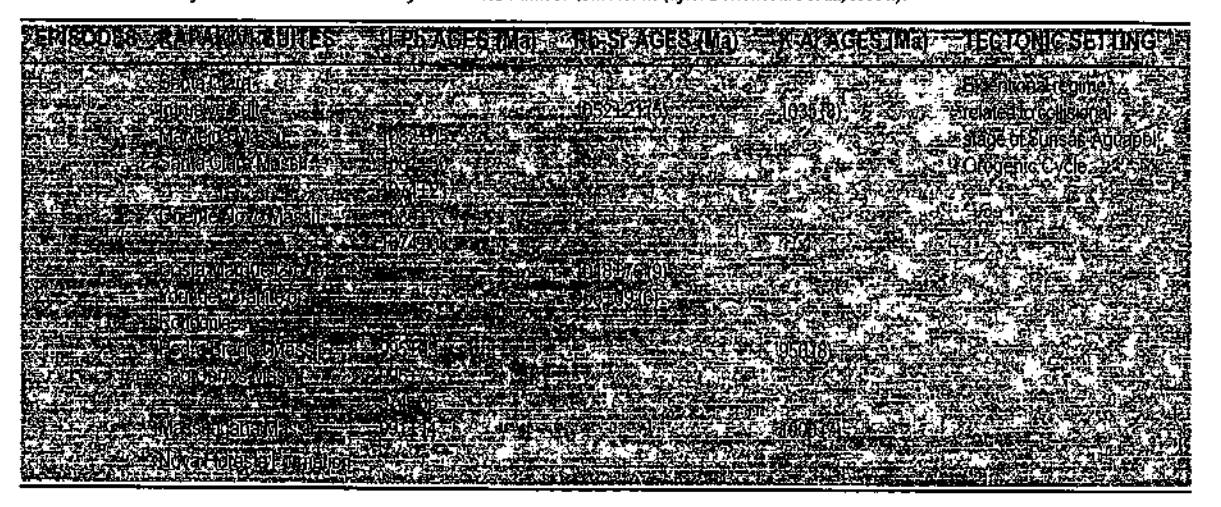
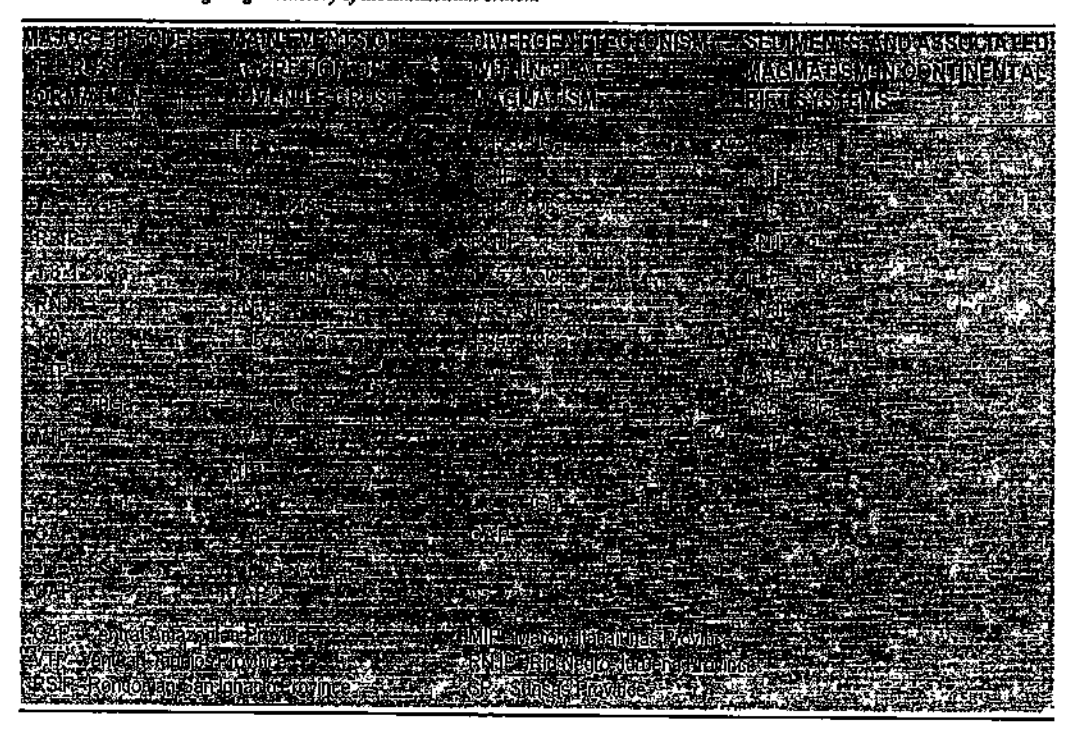


Table 15 - Precambrian geological history of the Amazonian Craton.



GEOLOGICAL UNIT	G 3.0	£	O E	2,0		C /	2,2		<b>M</b> 1	E (Go)	٠ ف
JAMON GRANITE TARRMÁ SUITE ÁGUA BOA GRANITE		••		:		<del></del>		-			P
MADEIRA GRANITE ABONARI SUITE RIO DOURADO SUITE		• • • • • •	•	. , ,		·	··· <del>·</del>			•	
S. DO ACARAÍ GRANITE S. DO MEL GRANITE		••••							,,,,,,,		· · · · · · · · · · ·
PEDRA PRETA CIABASE S. DA SERINGA GRANITE						:			7	<b>4</b>	
XINGU VILICANISM MAPUERA GRANITE VELHO GUILHERAME GRANITE POJUCA GRANITE CIGANO GRANITE MILSA GRANITE REDENÇÃO GRANITE									<b>9</b>		
MODERNA GRANITE MADERA GRANITE SURUMU VALCANISM STICOUMÉ VULCANISM ÁGUA BRANCA ADAMELITE	 	••••		4 4 9 1 • • • • • • • • • • • • • • • • • • •	••••		11774,	••••			• •
ULTRAMÁFIC CEX SERRA DA CNÇA OLD SALOBO GRANITE						.; <del></del>					•
ESTRELA GRANITE CUMARÚ GRANITOD S. DO INAJÁ TONALITES TAPRAPÉ GNEISSES		*****	•					, , , , , , , , , , , , , , , , , , ,	c	e	
SALOBO GROUP GRÃO PARÁ GROUP				•					0	6	
PARAZÓNIA FONALITE MATA DO SURRÃO GRANITE MOGNO THRONDEJ, RÍO MARIA GRANOD. PIAGUE GRANITE			H		,,,,,,				*******		•
IAGOA SECA GR. ARCO VERDE TONALITE PILIM GRANILITES SERRA AZUL CPX		)				*,			•••••		•
CED RIGHT CED	<b>I-Pb</b>	<u>-</u> .		K-AYAI- A-Amp	<b>Nipole</b>	_	Pto-Pt	) +	<b></b>	Hid (leoc)	_

Figura 4: Factóes geod inclóg cos de suridades reconhecidas na FAC Finha — Tissanaria (tacantina (1996)

COLOMBO C. G. TASSINARI, JORGE S. BETTENCOURT, MAURO C. GERALDES, MOACIR I. B. MACAMBIRA, AND JEAN M. LAFON 🔛

magma and concomitant extension, following crustal thickening.

Also important is the intervening deformation and metamorphism, the latter still unequivocally demonstrated. In the correlatable Grenville Province and Sveconorwegian Orogen (Baltica) tectonic deformation and emplacement of AMCG plutons within the interval 1.1 Ga to 920 Ma are commonly accompanied by high-grade ductile deformation, amphibolite and high-pressure granulite down to greenschist facies metamorphism (Gower, 1996; Corrigan and Hanmer, 1997; Andersson et al., 1999; Larsen, 2000). However the younger Ar/Ar dates on biotite and feldspar recorded in the Rondônia Tin Province by Bettencourt et al. (1996) of c. 1.001 Ga and 912 Ma, show slow metamorphic cooling rates that are consistent with the K/Ar ages observed in the Younger Rondônia Granite (1.08 Ga - 970 Ma). These ages are readily interpreted as related to cooling as rapakivi magmatism waned during crystallization as stability of the Sunsas Orogen was reached.

Table I - Summary of the isotopic ages referred to the rocks of the Central Amazonian Province

Events between 970 - 920 Ma (Terminal Acivities the Sunsas Orogen)

The terminal magmatism related to the Sunsas Or are the bimodal Guapé Intrusive Suite (Rb/Sr c. 950 Ma) and the S-type São Domingos Intrusive Suite, dat 930  $\pm$  19 Ma and 917  $\pm$  5 Ma (U/Pb zircon) by Ger: (2000). They are related, respectively, to extension ar the Aguapei thrusting. Post-collisional time-correlat igneous episodes in the Grenville Province, represente several granitoid plutons and aplite dykes occurred ben c. 966 - 956 Ma, following crustal thickening (Tucker Gower, 1994; Gower, 1996; Wasteneys et al., 1997). In Sveconorwegian Orogen (1.1 Ga - 900 Ma) (southwes Sweden and south-southwestern Norway) synchron post-collisional bimodal rift-related AMCG intrusions dolerite are recorded at c. 966 and 956 Ma. Minor s tectonic calc-alkaline magmatism is dated at c 1.04 (Bingen et al., 1998; Larsen, 2000). Also marking the en the tectonic activity, there is the Rogaland AMCG Com and other norite-anorthosite complexes and related hyl rocks, which appear to lack Grenville correlatives, (Ahāll: Schöberg, 1996) are recorded in southwestern Sweden.

GEOLOGICAL			G	1 0 B	0 G I C	A 1	MIT	E (0.4)		
UNIT	3.0	0	2,8	2,6	24	2.2				
Jamon Granite Tarumā Sulte	_   _ <u>;</u>		<del></del> -	_T_ :	_ <u>-ī</u> -	<del></del>		· == '	<u> </u>	1.6
Água Boa Granite	;		:	1	:	:		:	- <b>COD</b>	
Madeira Granite	1 :		:	:	:	:		:	<b>€</b>	÷
Abonari Suite	1'''	• • • • • • •	*******	•••	•••••	•••••	• • • • • • •	i		ż,
Rio Dourado Suite			:		:			:	•	:
S. Do Acaraí Granite	:		:	:	•			:	4000	:
S. Do Mel Granite	;		:		:	:	:	:	(amp	:
Pedra Preta Diabase	1	• • • • • • •	•	•••	••••				<b>T</b>	Ξ.
S. Da Seringa Granite	- 1 :			:	:	;			: EDD	:
	1 :		;		:					፧
Xingu Voicanism Mapuera Granite				:	:	:		-	_	:
Velho Guitherme Granite	:		:	:				400		:
Pojuca Granite	:		:	•	:	:	:	400		:
Cigano Granite			:	:			:	_		:
Musa Granite	-   ;		:	:	:	:	:			:
Redenção Granite	1 :		:	:	:		:	<u> </u>	•	:
Moderna Granite	:		:	÷		:	:		Ф	:
Madelra Granite	};-	• • • • • • •	÷				. <b>.</b>	<u></u>	_	:
Surumu Volcanism	1 :		:	:	:	:	•	-		: •
ricoumé Volcanism			•	•	:	•	:	EEEE	_	:
gua Branca Adamelite			:	:	÷		•		•	
Atramatic Cpx	1		i	••••••		• • • • • • •	••••••			
Эелта Da Onça	;		<u>:</u>	÷	<u> </u>		:			
Md Salobo Granite			:	:	:	:	:	:	<u> </u>	:
strela Granite	[ ]		<u>:</u>		••••	• • • • • • • • • • • • • • • • • • • •		•••••••		٠
umarú Granitoid	1 :		:	₫₽>	÷	:	:	.:	:	
Do Inajá Tonalites	1:		(III)	÷۷	•	÷	•		:	
apirapė Gneisses	J		<b>•</b>		<del>!</del>		:	1	:	
elobo Group	:		:				•••••••	······ <u>·</u>	•	•••
rão Pará Group			<b>400</b>	:	:	:	:	⇔ <sup>B</sup>	:	
erazônia Tonalite	J	, .	<b></b>	i		:	:	:	:	
ata Do Surrão Granite	1:		:	:	:	****	•••••••	••••••	•	٠.
ogno Throndej.	1 :			•	÷	:	•	:	:	
io Maria Granod.	1 :	Winn :	4000		:	:		;	:	
aque Granite	J;			J		:	•	:		
igoa Seca Gr.		m		:	· · · · · · · · · · · · · · · · · · ·	••••	•••••••••••••••••••••••••••••••••••••••	••••••	•••••	٠.
∞ Verde Tonalite		-		:	:		÷	:		
um Granulites		:		:	÷	:	:	•		
rra Azui Cpx		:		:		:	:	:		
	<u> </u>		K/A	-Ar/Ar	<del></del> -	_ൎ—	<u> </u>	- <u></u> :	<u>_</u>	
eodoo⊳ Rb/Sr eodoon	U/Pb		<b>⇒</b> ÃÃ	nobibole	<b>—</b> ₽			Sm/Nd (k		

Table 4 - Summary of the isotopic ages referred to the rocks of the Rio NegrosJuruena Province.

GEOLOGICAL			_			O G						I N	•	, 1.1	1.0	
UNIT	1.	7	1.6			5		1.4			3 	1,	<del>-</del>	<u>'i'</u>		
PEDRA BRANCA GRANITE				<b></b>		<u>.</u>		::;						<u>:</u>	<u> </u>	
MASSANGANA GRANITE																₩
SÃO CARLOS GRANITE																•
SANTA CLARA GRANITE		: : 				<u>.</u>				<b>.</b>	<u>.</u>		: :			· • • •
ORIENTE NOVO GRANITE		<u>.</u>						;		• • • • •		<b></b>	<u>.</u>	<u> </u>		. <b></b>
IGARAPÉ PRETO GRANITE		<u>.</u>				<u>.</u> 		;			ļ					• • • •
CANAMĀ/GUARIBA ALCALINE		<u>:</u>				<u>:</u>			, 			<b>₫₫</b> ΪΙ	<b></b>			
CIRIQUIQUI ANORTOSITE		<u>:</u>		• • • •		<u>.</u>					<u>.</u>		<b>.</b>	<u>.</u>		
SÃO LOURENÇO GRANITE		<u>:</u>									<b>.</b>		į			
CARIPUNAS GRANITE		<u>.</u>				. <b>.</b>					. <u></u>					•••
DUAS MICAS GRANITE		<u>:</u>				<u>.</u>	<b>4</b>			<b>₫</b>	DS 	····	>. 			
JARU CHARNOKITE		<u>:</u>	,		<i>.</i>	<u>.</u>			П		. <u>:</u>		. <b>.</b>			
CANDEIAS CPX		<u>.</u>				<u>.</u>		•		<b>.</b>						
SANTO ANTONIO Cpx.						. <u>;</u>	•==	<b></b>		1 	.;		. <del>.</del>			
BASIC MAGMATISM				<u></u>		. <u>.</u>		<b>&gt;</b>	<u>:</u>				> <u></u>			
ROOSEVELT SUPRACRUSTAL		<b>.</b>		<b>:</b>	····	;		-	<b>⇒</b> .;							: : · · ·
S. DA PROVIDÊNCIA GRANITE		. <b>.</b>		<u> </u>			<b>₹</b>	•	 							
TELES PIRES GRANITE		<u>. i</u>				<u></u>			<u></u> .							
SUCUNDURI VOLCANISM	 		<b>@</b>	Þ		 					<b>;</b>			;		
ARIPUANĂ VOLCANISM		<u>.</u>					• • • • • • • • • • • • • • • • • • •		. <del>;</del>							<u>:</u>
PORTO VELHO- JURUENA BASEMENT AND JAURU REG.		:		1 : 	<b></b>				<	<u> </u>				>		
ALTO RIO NEGRO BASEMENT				ו	(111111	<b></b>					:		•			
	 > Rb/Sr	<u>:</u> -		11/0	 )h	<u> </u>		— Кі	۸,			Ph/Pt	(WR)			

Table 2 - Summary of the isotopic ages referred to the rocks of the Maroni-Itacaiánas Province.

GEOLOGICAL	GEOL	OGIC	A L T I I	( E (Ga)
UNIT		μ <sub>5</sub> 2,3	2,1 1,4	
	: :	:	: :	:
,				
Falsino Intrusive suit <b>e</b>				<b>40</b> 1100
POST-TECTONIC				
GRANITOID			حسه	
		:		
r. Iriri Paragneiss	1			
SUPRACRUSTAL		;	p 1	
SEQUENCES			munu Detrital Zirco	" : :
		:	(III)	<b>T</b> D
GNEISSIC-MIGMATITIC				
TERRANES	1:			
R. IRIRI CALC-SILICATIC		: :	• • • • • • • • • • • • • • • • • • • •	
ROCKS				<u> </u>
			(III)	
R. IRIRI METABASIC ROCKS			:	
ME MEMORAL ROUNS		:		
GUIANA GRANULITE				
BELT		;;;;;;;;;;;;;;;;;;;;;;;;;;;;;;;;;;;;;;		
VILA NOVA GROUP			} <	
Den			mmi Detrital Zircon	
RORAIMA TAIANO PARAGNEISS				
,	1		,	: · · · · · · · · · · · · · · · · · · ·
ARAÍ Fm.			eranja Debittal Zi	con
RORAIMA GIŁ				
1		:	_	
CUPIXI GRANITIC SUITE				
GRAMING SOLIE				: 
COBRA AND COATÁ		<u> </u>	:	
(AP) GRANULITE			1	
			•	
CUPIXI			ه 🕁	0.
TTG SUITE	314	;	4000	
IMATAÇA COMPLEX		<u></u>	K/Ar-AriAr	<del>: - ; :</del> -
← Sm/Nd (isoc)	≪ Rb/Sr  mm  mm  mm  mm  mm  mm  mm  mm  mm	U/Pb	A-Amphibole B-Siotte	Pb/Pb

Table 3 - Summary of the isotope ages referred to the rocks of the Ventuari/Tapajós Province.

GEOLOGICAL UNIT	G	E 1,8	O L	o G	1,7 C A	1,6	T 1 B	A E	(Ga)	1.3
SURUCUCUS - EL PARGUAZA MUCAJAÍ GRANITOID				, ,			4 <b>44411</b>	<b>I</b> ⊳	<u>:</u>	
TELES PIRES GRANITÉ										
TELES PIRES VOLCANIC ROCKS									<u>.</u>	
MALOQUINHA GRANITE						,			:	:
ACID-INTERM. VOLCANISM			·····					••••	.)	::
ATABAPO DIORITE ITAITUBA REGION GNEISS MINICIA GNEISS		<		)······				••••		
PARAUARI-JURUENA GRANODIORITE	400	-:-	шш						:	
RORAIMA GNEISS DOMO DO SUCUNDURI REGION - GNEISS			•••••						*·····································	

	- Rio Negro/-	turuana E	rovince		Roi	ndonian/San Igna	acio Province	'	i	Sunsas Provinc	e		Age
ge ' la)	Jameri	Rooseveil Terrane		SW Mate Grosso Cachoeirinha Orogen	SW Mato Grosso Rio Alegre Terrane	SW Mato Grosso Santa Helena Orogen	Bolivia Rondonian/Sa	Northern Roadonia In Ignacio Orogen	Bolma Sunsas Cycle	SW Maio Giosso Aguapei Thrust Belt	Hova Brastlándia Terrane	Sunsas in northern Rondônia	(Ma) :
0				• • • •	<i>.</i>					******			,
1000_									www(Rb/Sr)		**************************************	**************************************	A_1900
<u>.</u>												*****	
136 <u>7</u>									7		?		<u>.126</u> 0
00						(Rb/Sr)	+++++(Rb/Sr) +++++(Rb/Sr)			?			. 133
1400							++++(Rb/St)						<u>,140</u> 0
00				• • • • •	<u></u>	XXXXXXXXXXXXX							<u> 15</u>
A				XXXXXXXXXXXX									<u>+6</u> ıñ
1900													_
700													<u>170</u>
	XXXXXXXXXXXXXXXX	100A	<b>%%%</b>	α							داد.ن	amombom!	_150
	Simbologies Unless expressed agos a refered to UPPs data	(6	XXXXX calc	alkaline rocks	vvvv maf-cinku		ocean-boor melic re sedimentary rocks		volcanic rocks AUCG associa	<b>k</b> on		amorphism/ irmation	

FIGURE 12 - A tentative time-correlation chart showing the orogenic events of the SW Amazonian Craton.

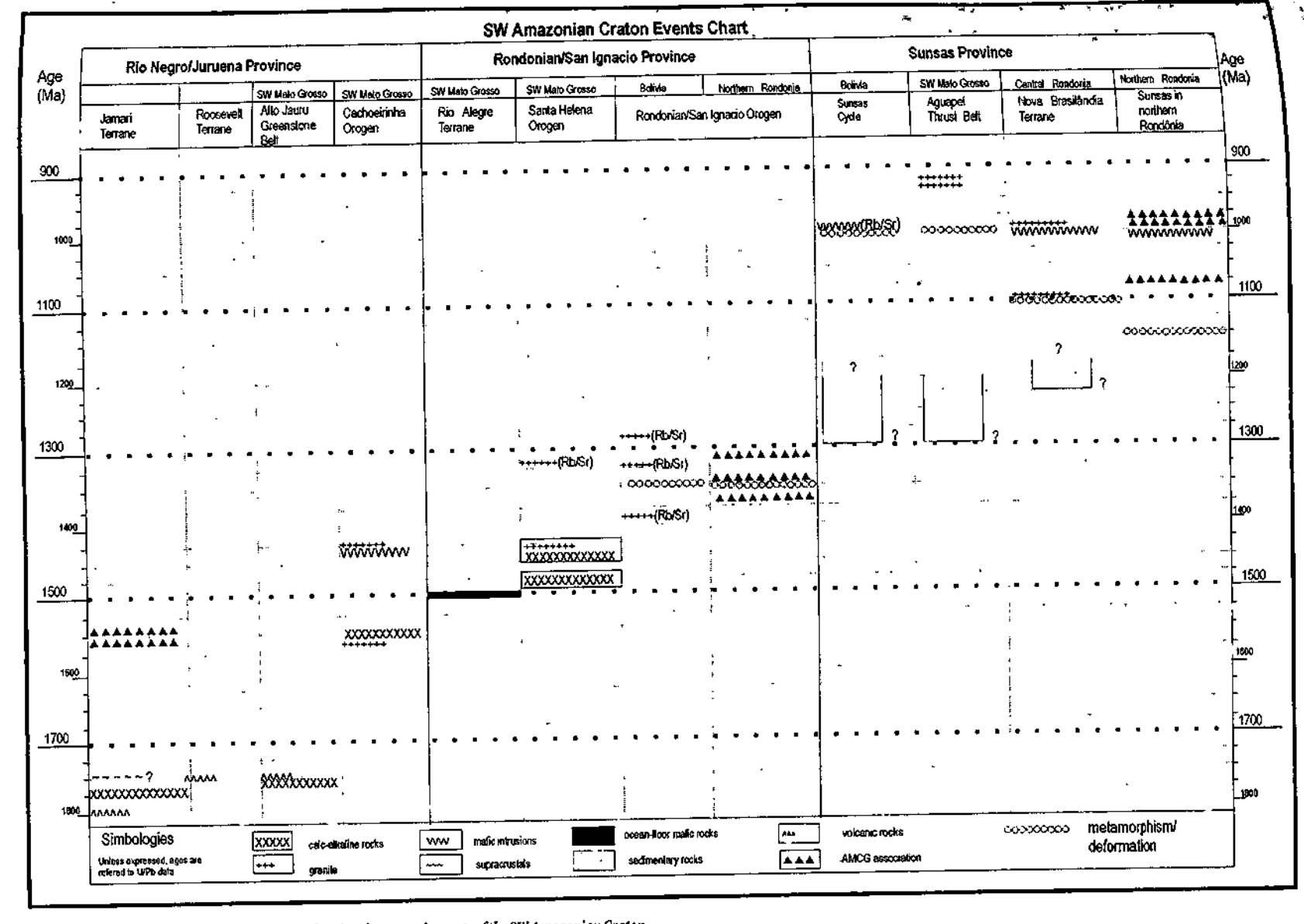
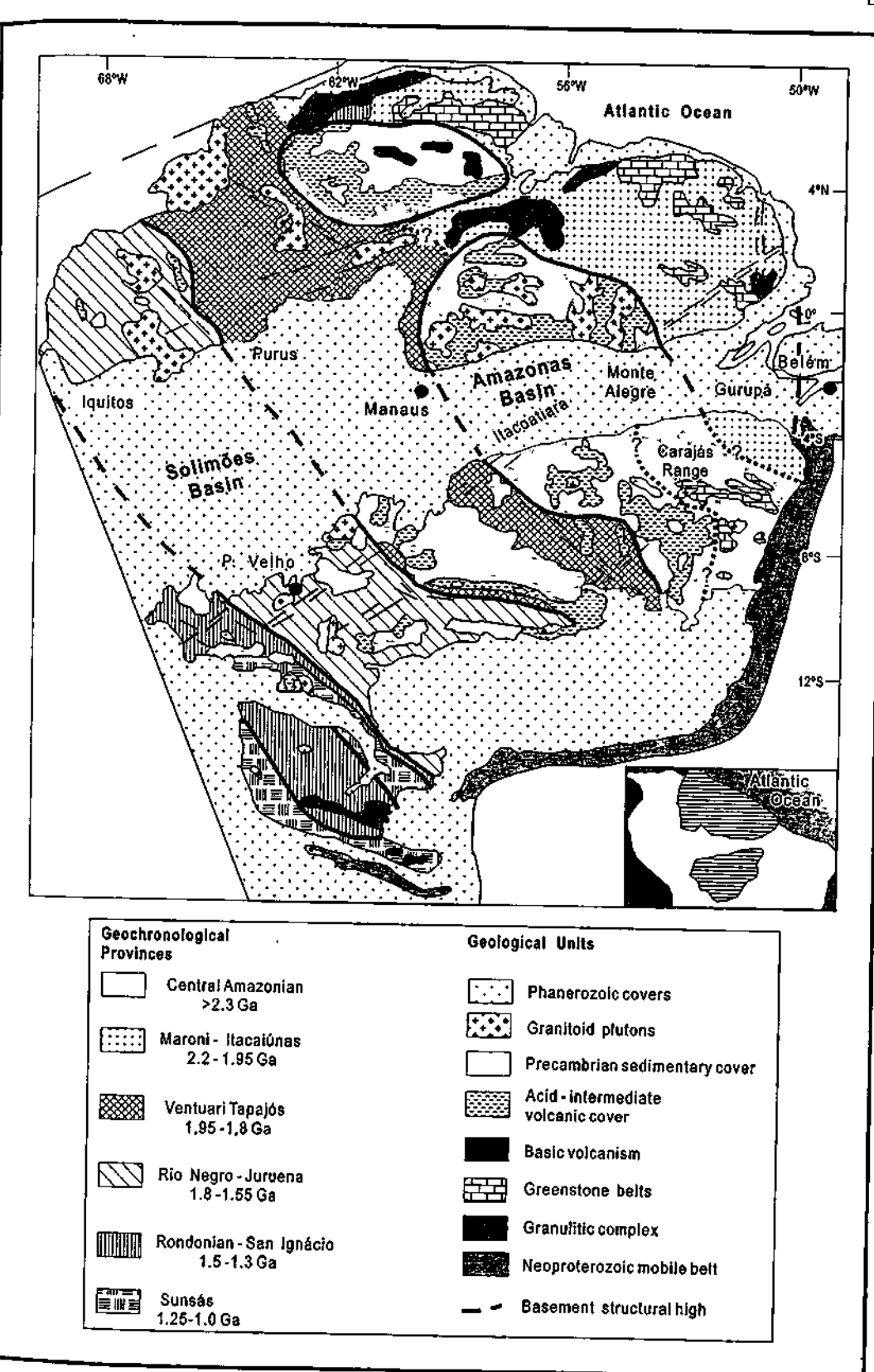


FIGURE 12 - A tentative time-correlation chart showing the orogenic events of the SW Amazonian Craton.



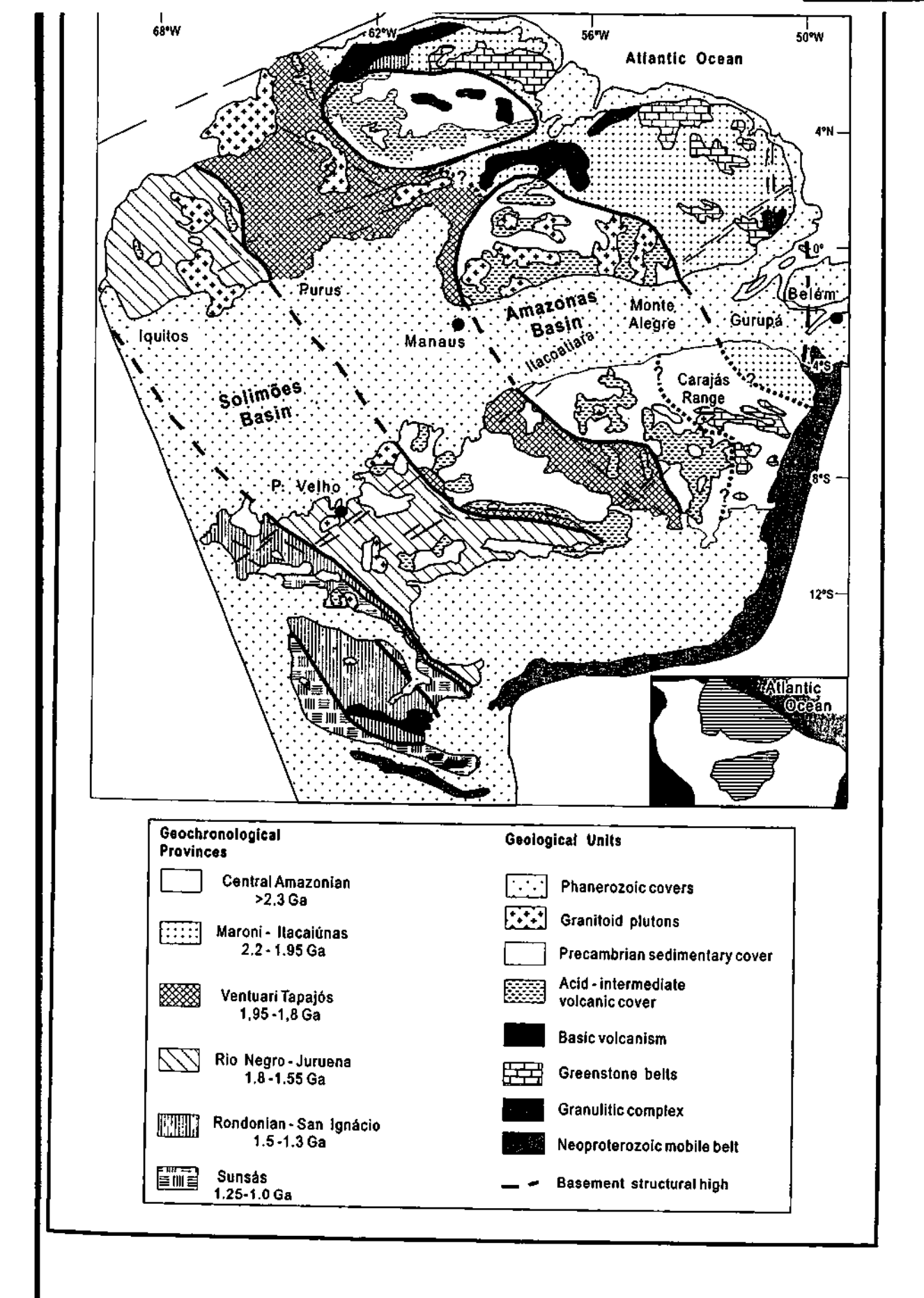
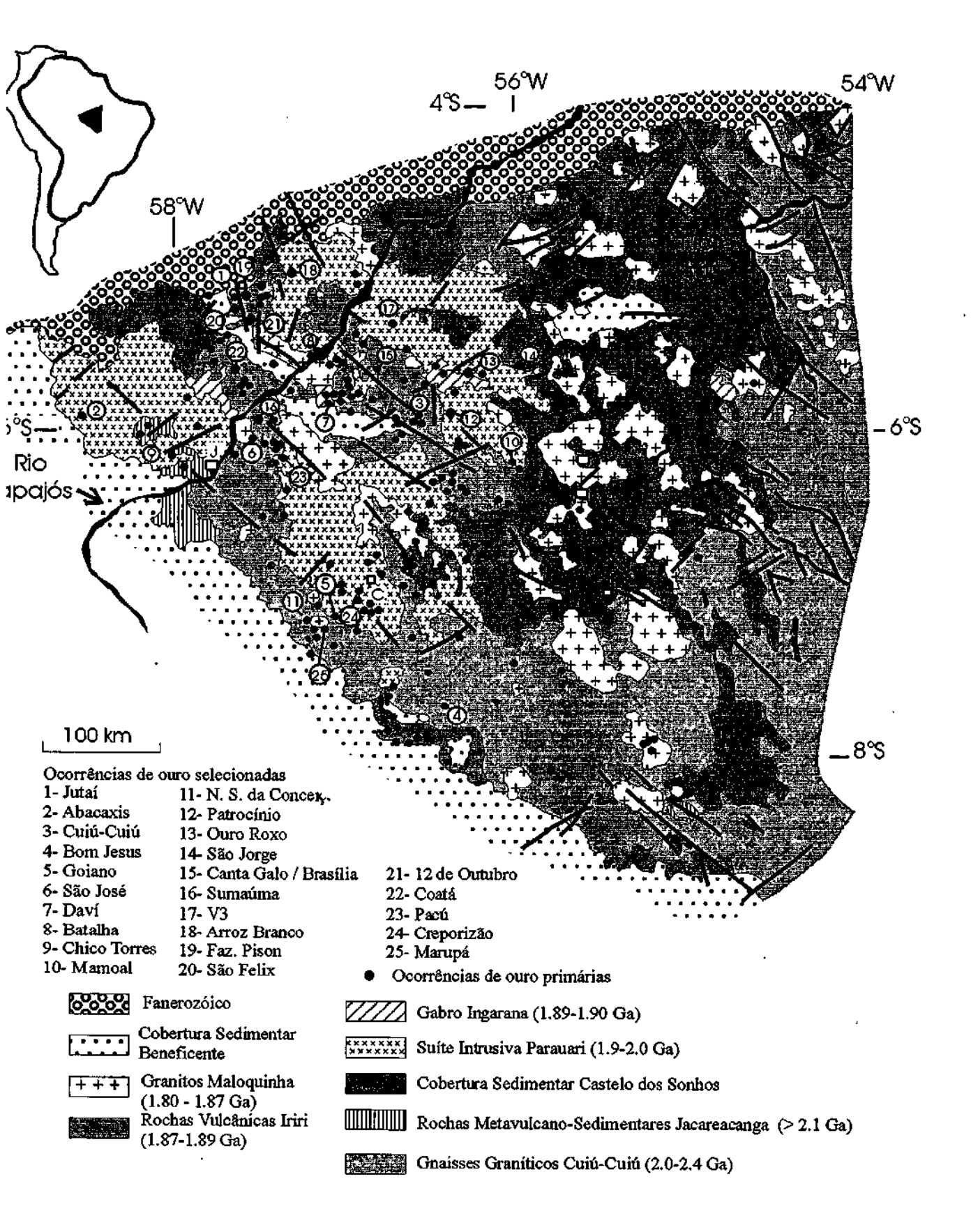
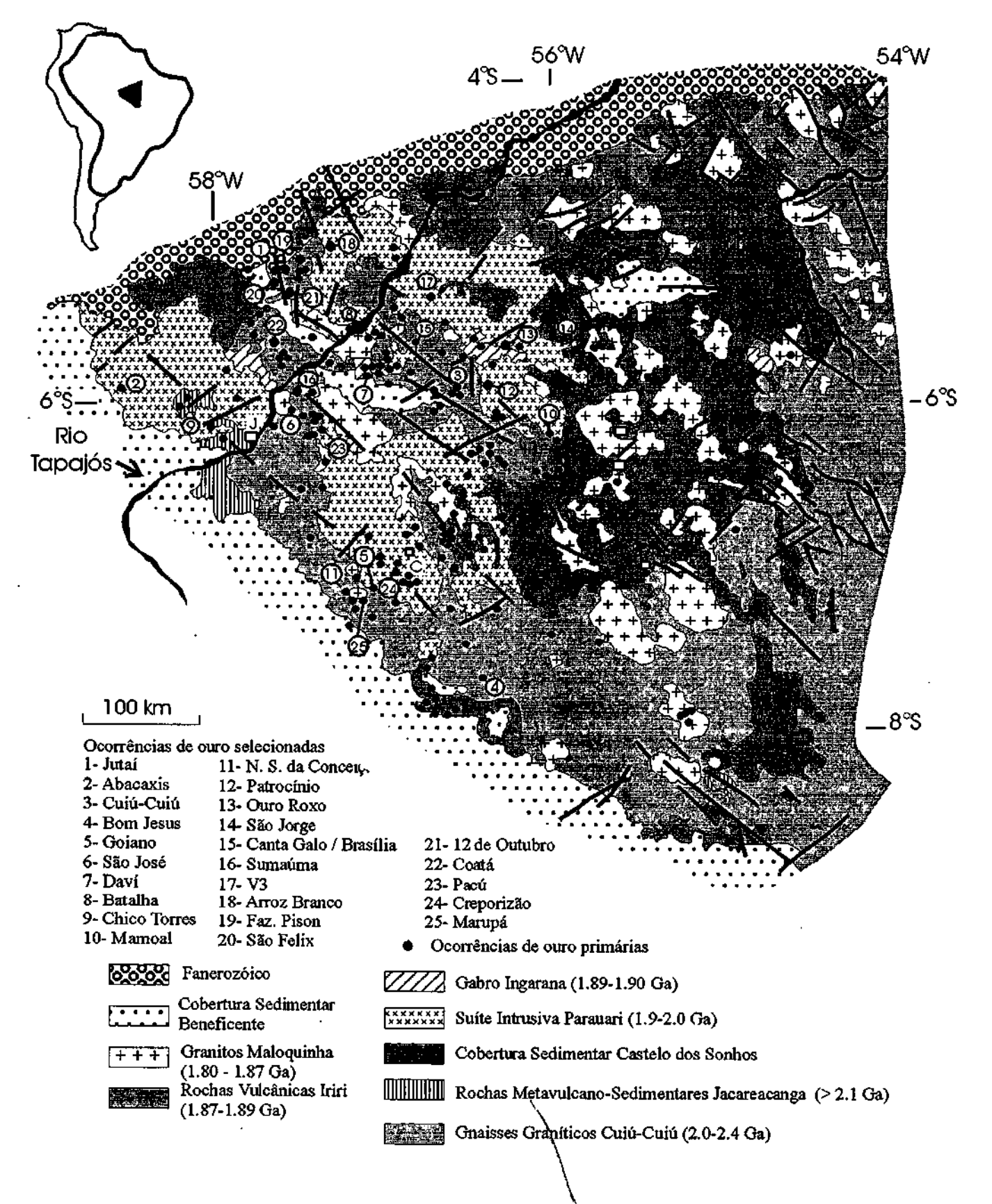


FIGURE 1 - Major geochronological provinces and main lithological associations of the Amazonian Craton (modified after Tassinari and Macambira, 1999).



Mapa geológico simplificado da Província Tapajós, ilustrativo da distribuição das principais ocorrências de ouro primário (Schobbenhaus et al., 1981; Faraco e Carvalho, 1994a; Robert, 1996; e outros



2 – Mapa geológico simplificado da Província Tapajós, ilustrativo da distribuição das principais ocorrências de ouro primário (Schobbenhaus et al., 1981; Faraco e Carvalho, 1994a; Robert, 1996; e outros

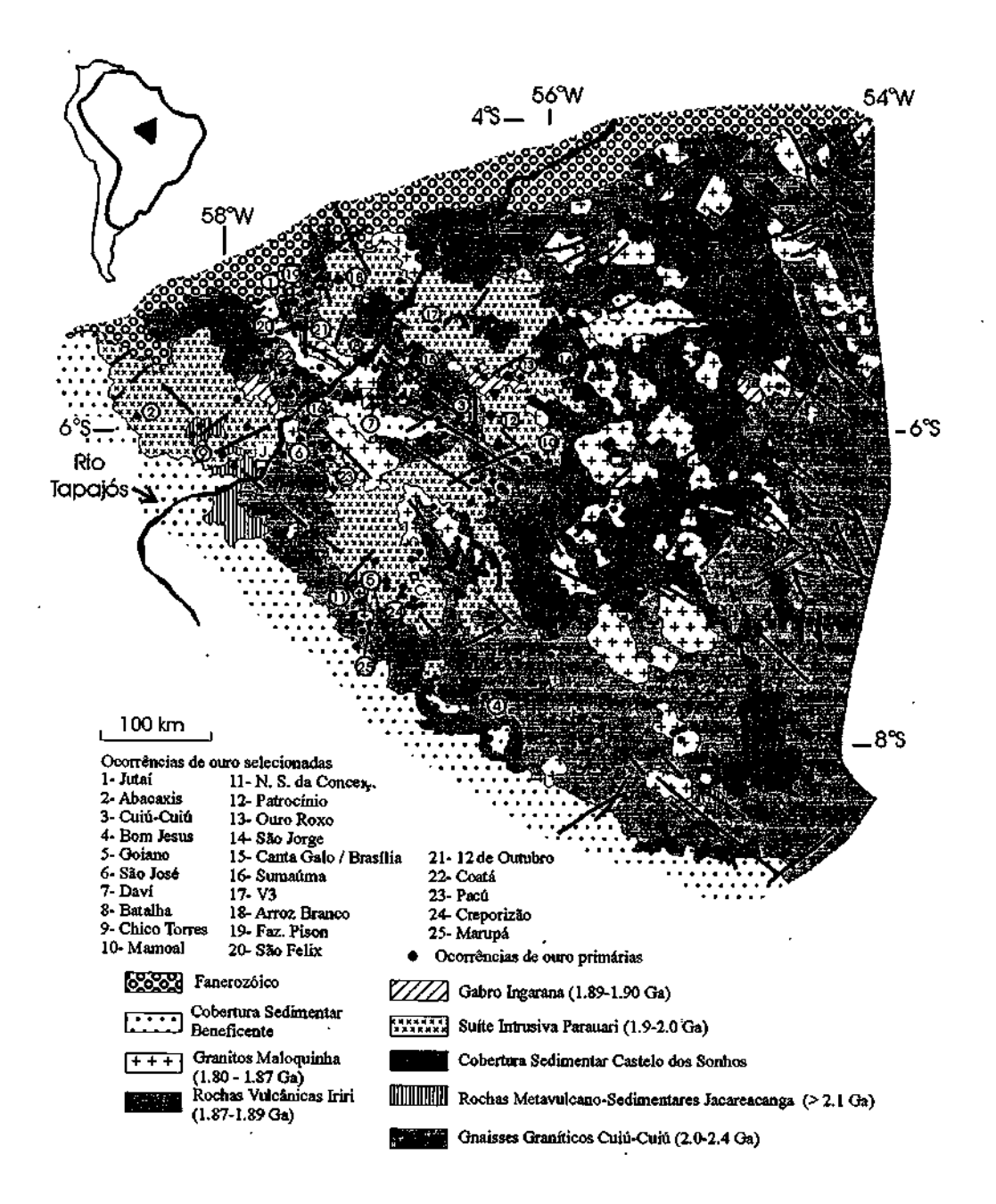


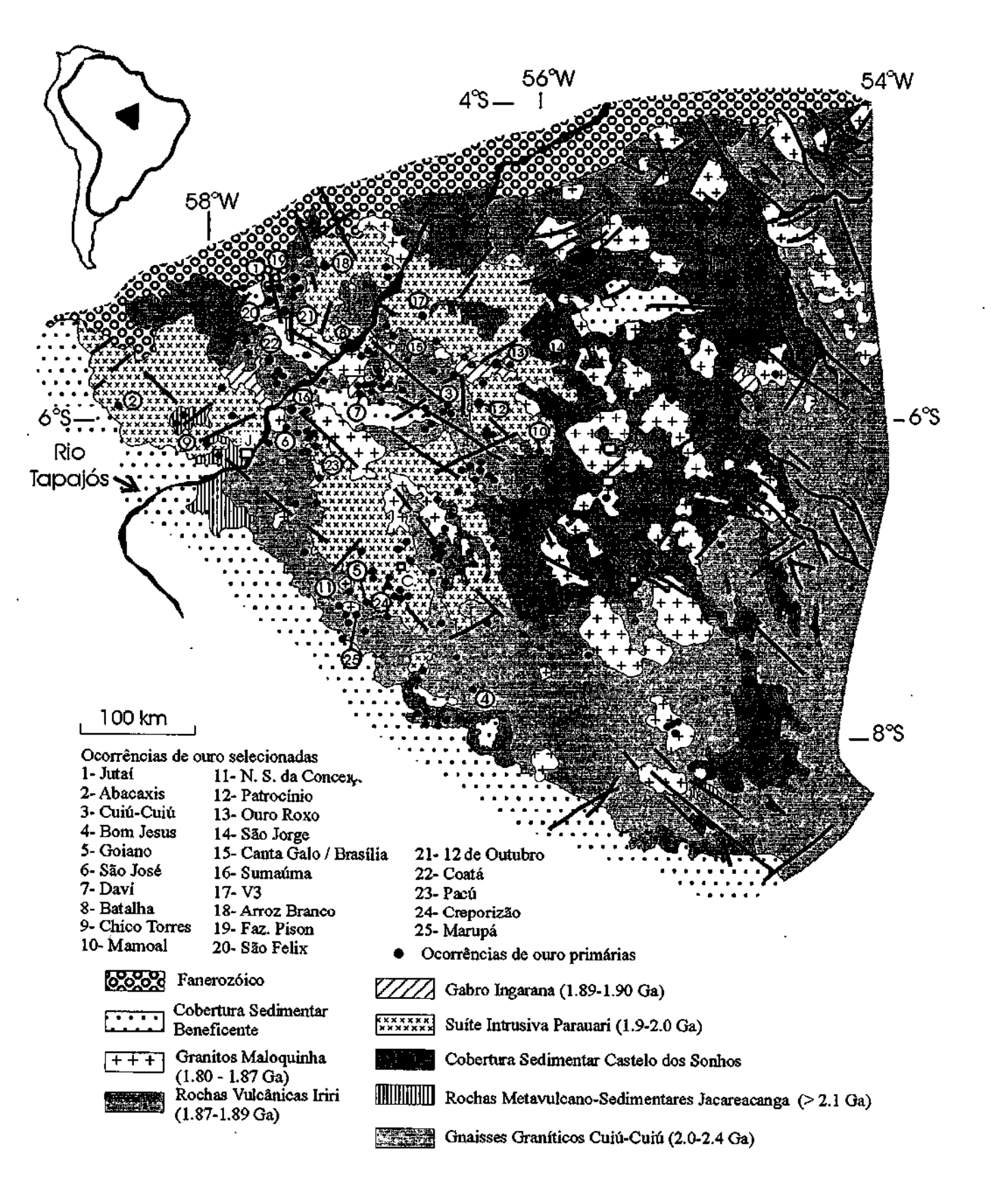
Fig. 42 – Mapa geológico simplificado da Província Tapajós, ilustrativo da distribuição das principais ocorrências de ouro primário (Schobbenhaus et al., 1981; Faraco e Carvalho, 1994a; Robert, 1996; e outros referidos no texto). J. = Jacareacanga; M. A. = Morais Almeida; N. P. = Novo Progresso; V. R. = Vila Riozinho; C.= Creporizão.

lGa), e a também uiú combolitos; e ia supraîzada em 1 a Cuiúatrudidas ríticos da '-2,0Ga), equenteformam has vulas como te intruoquinha foi fornal. As o estão as, com

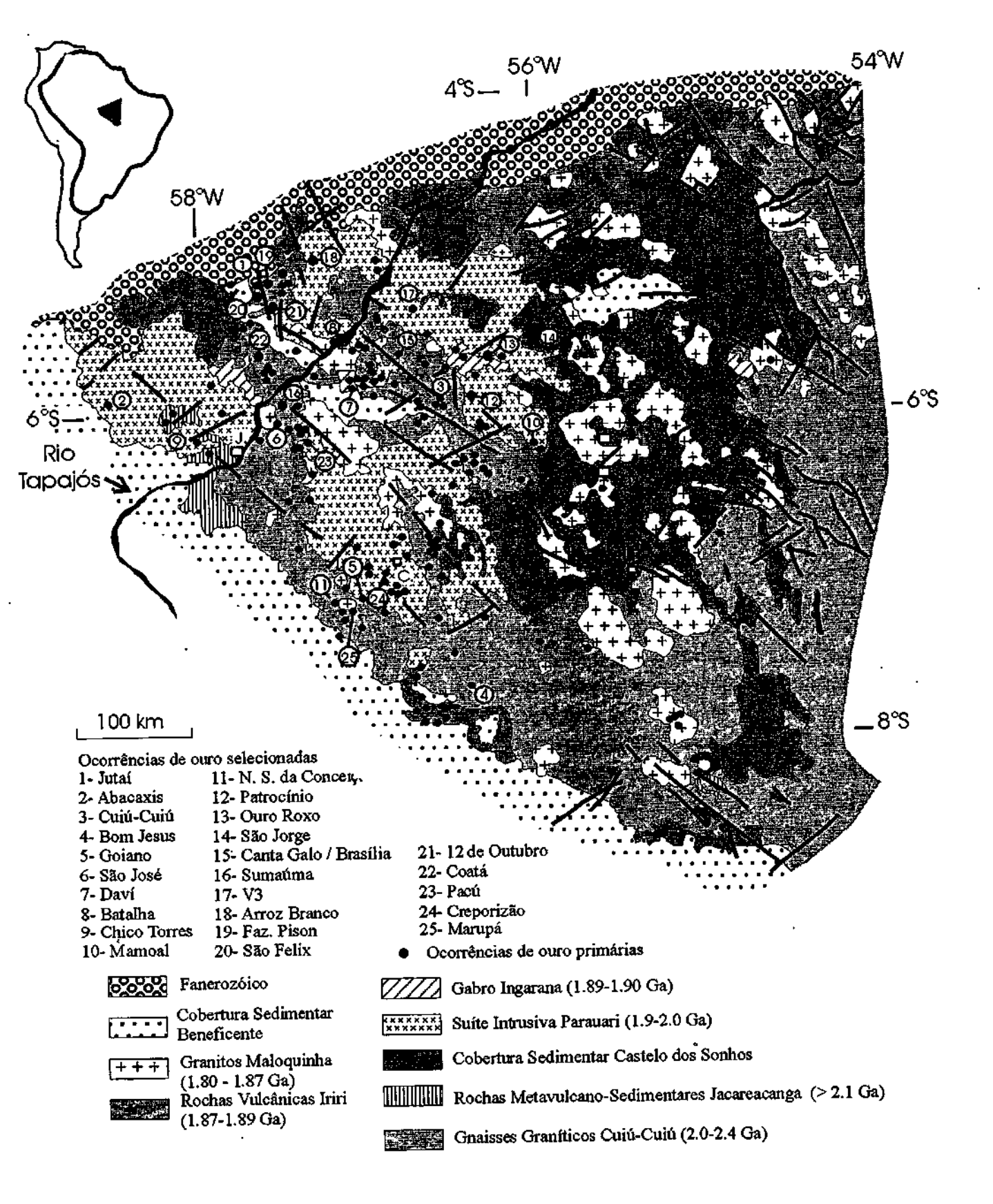
mergu-

Rochas

tamórfica



<sup>? –</sup> Mapa geológico simplificado da Província Tapajós, ilustrativo da distribuição das principais ocorrências de ouro primário (Schobbenhaus et al., 1981; Faraco e Carvalho, 1994a; Robert, 1996; e outros



Mapa geológico simplificado da Província Tapajós, ilustrativo da distribuição das principais ocorrências de ouro primário (Schobbenhaus et al., 1981; Faraco e Carvalho, 1994a; Robert, 1996; e outros
 J. Jacobsonas M. A. – Morais Almeida: N. P. = Novo Progresso; V. R. = Vila

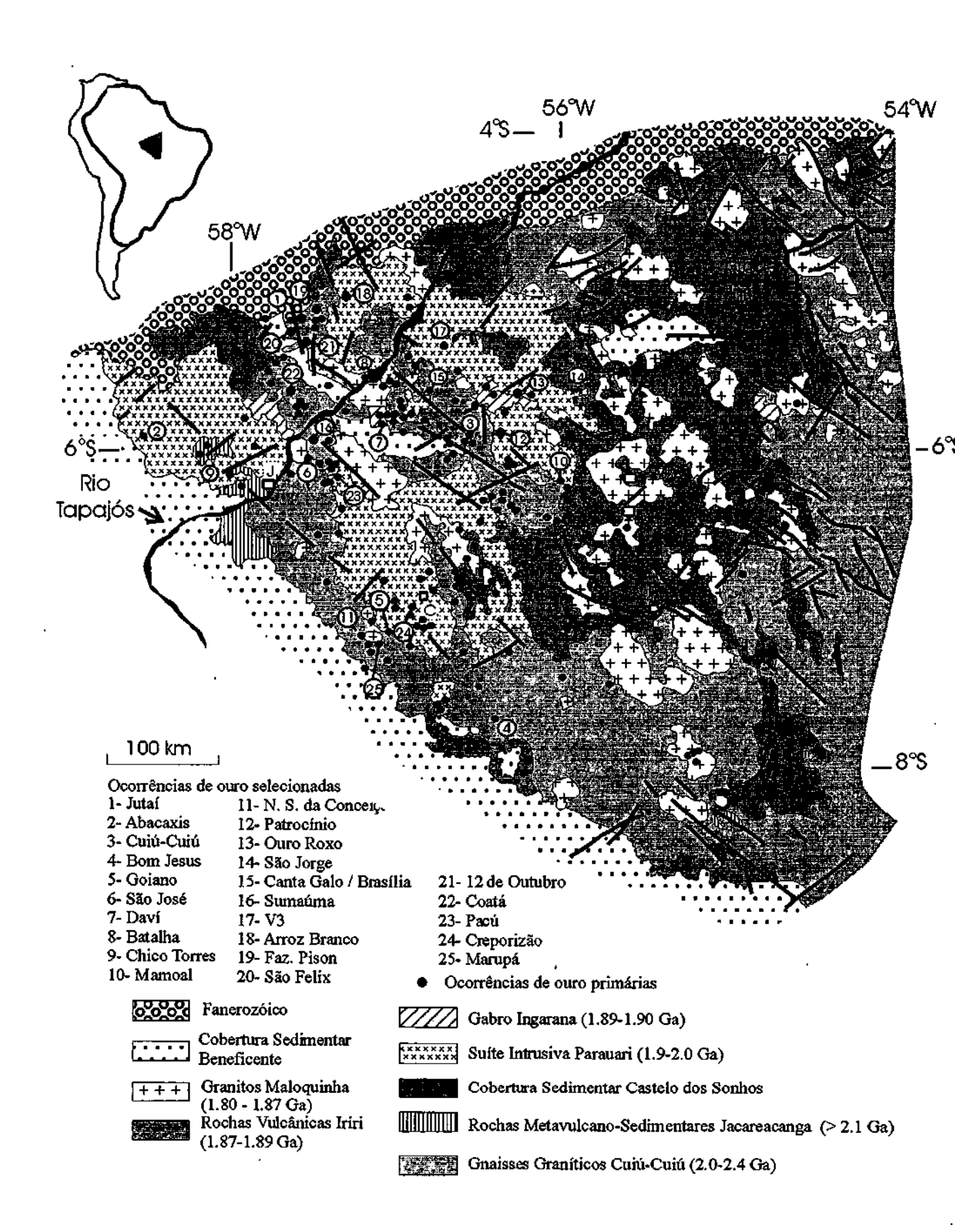


Fig. 42 – Mapa geológico simplificado da Província Tapajós, ilustrativo da distribuição das principais ocorrêcias de ouro primário (Schobbenhaus et al., 1981; Faraco e Carvalho, 1994a; Robert, 1996; e outreferidos no texto). J. = Jacareacanga; M. A. = Morais Almeida; N. P. = Novo Progresso; V. R. = V Riozinho; C.= Creporizão.

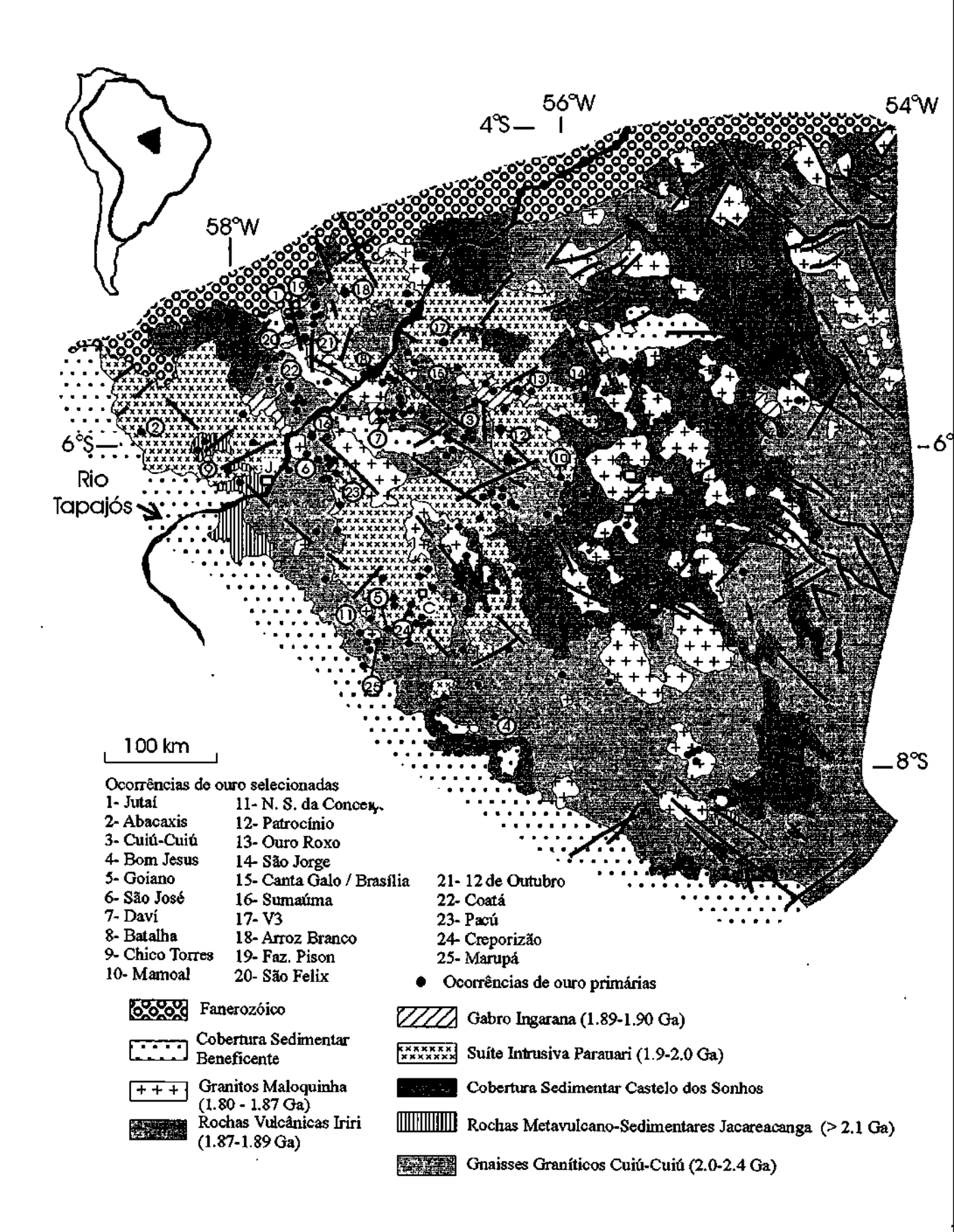


Fig. 42 – Mapa geológico simplificado da Província Tapajós, ilustrativo da distribuição das principais ocorrecias de ouro primário (Schobbenhaus et al., 1981; Faraco e Carvalho, 1994a; Robert, 1996; e outreferidos no texto). J. = Jacareacanga; M. A. = Morais Almeida; N. P. = Novo Progresso; V. R. = V. Riozinho; C.= Creporizão.

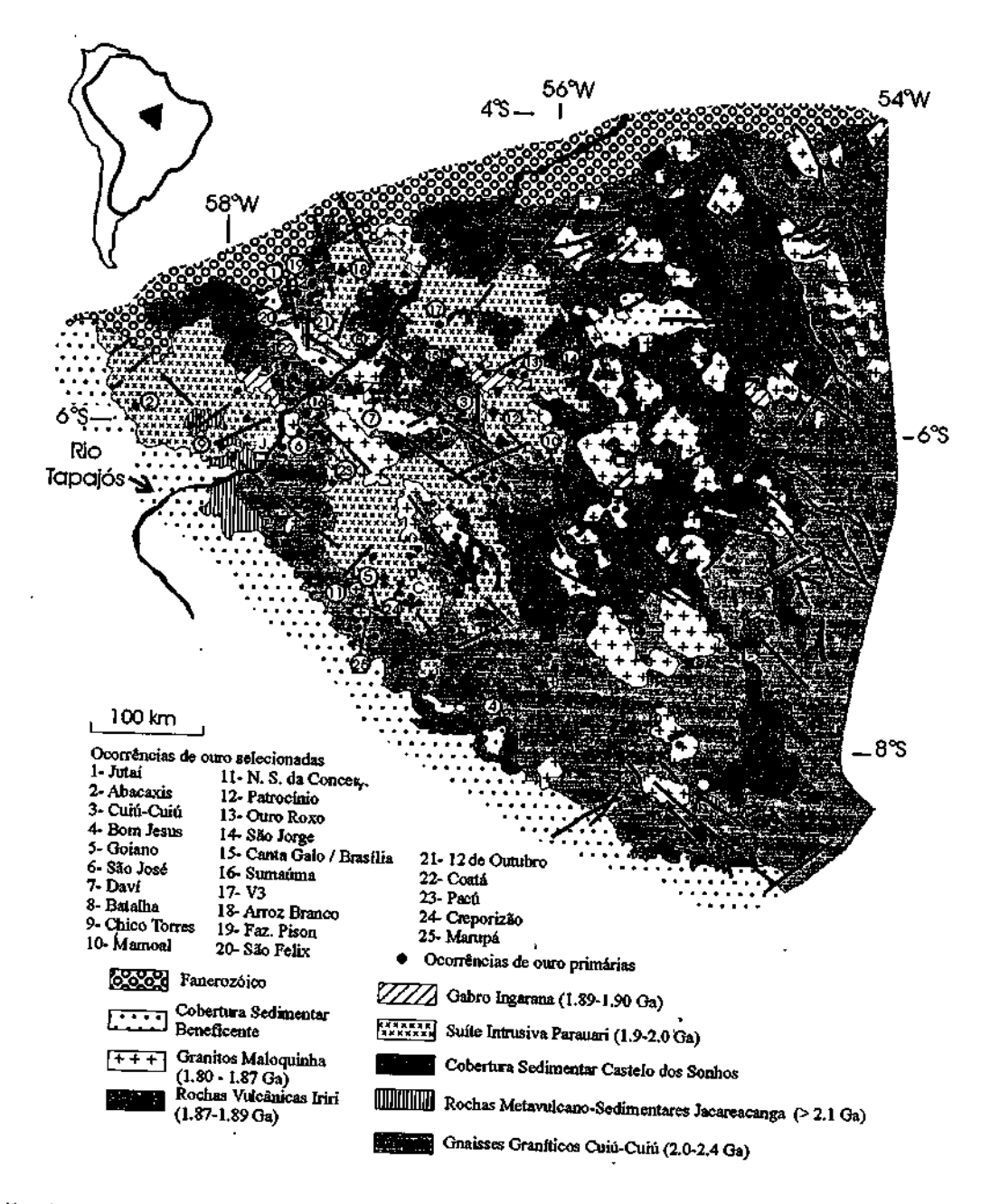


Fig. 42 – Mapa geológico simplificado da Província Tapajós, ilustrativo da distribuição das principais ocorrências de ouro primário (Schobbenhaus et al., 1981; Faraco e Carvalho, 1994a; Robert, 1996; e outros referidos no texto). J. = Jacareacanga; M. A. = Morais Almeida; N. P. = Novo Progresso; V. R. = Vila Riozinho; C.= Creporizão.

amórfica
Ja), e a
também
iú complitos; e
: supraada em
1 Cuiúudidas
icos da
,0Ga).
üentermam

s vul-

сото

intru-

unha

for-. As

com

gu-

has

# divonings folds recognished the second size.

- 1. Contextualização Geológica.
- 2. Segmento Tapajós
  - 2.1 Estudos de Casos Segmento Tapajós
    - 2.1.1 Caso 1 Região da Vila Riozinho
    - 2.1.2 Caso 2 Granito Batalha
- 3. Segmento Alta Floresta
  - 3.1 Caso Granito Matupá
  - 3.2 Aspectos geológicos de regiões auríferas do segmento Alta Floresta
- 4. Referências Bibliográficas

# 1. Contextualização Geológica

A Provincia Aurifera Tapajós - Alta Floresta estende-se pelos estados do Pará, Mato Grosso e Tocantins, na porção sul do Cráton Amazônico, conforme localização esquemática apresentada na **Ligural**, que segue.

Este cráton ocupa uma área de ~ 4,3 milhões de km² no centro-norte da América do Sul, tendo como limites cinturões neoproterozóicos: Tucavaca, na Bolívia; e Paraguai-Araguia e Tocantins, no Brasil central, todos de idade Brasiliano.

Do ponto de vista evolutivo, duas linhas antagônicas tem sido apresentadas para a evolução geotectônica deste Cráton; mobilista e fixista.

Tassinari (1996, in Tassinari e Macambira, 1999) na mais recente e aceita modelagem, propôs a compartimentação do Craton Amazônico em seis províncias geocronológicas, representadas na tautas, a saber:

Neste contexto, Tassinari e Macambira (1999) reportam que apesar dos limites entre as citadas províncias estarem razoavelmente bem definidos, com base em dados geocronológicos, alguns limites carecem de maiores detalhamentos geológicos.

As províncias geocronológicas podem incluir

## 2. Segmento Tapajós

Mapa geológico simplificado (#1000/428)

O embasamento desta Província Aurífera, pertence a Provincia Amazônia Central ou a Província Ventuari Tapajós , localmente representado pela Suítes Metamórficas Cuiú-Cuiú e Jacareacanga.

O complexo de idade mais antiga que 2,0 Ga, arqueano a paleoproterozóico, terrenos granito gnáissicos, TTG,

O Grupo **la accepta de la composition del composition de la composition del composition de la composit** 

Alguns autores, Ferreira et al., 2000; Klein and Vasquez, 2000 e Klein et al., 2001, admitem que ambas as unidades estão relacionadas aos accomagmático (Província Ventuari - Tapajós).

A **rabelar**, obtida de Tassinari et. al. (2000), mostra o padrão geocronológico das principais unidades da PAC.

A seqüência Cuiú-Cuiú e o Grupo Jacareacanga encontram-se intrudidos por rochas da Suite Intrusiva de composição granodioritica a monzodioritica, de idade em torno de 1880 Ma, e correspondendo a uma geração de granitos cálcio alcalinos, pós tectônico, mais tardios.

Santos et. al. (2001) propões novas idades para o magmatismo Uatumã: Iriri (1870±8Ma), Iricoumé (1862±7Ma), Teles Pires (1740±12Ma) e Surumu (1960±6Ma).

Santos et. al. (2001) ressalta que "o contrata de la produto de um processo anorogênico que ocorreu entre 1880-1870 Ma envolvendo fusão parcial de fonte crustal arqueana. As rochas com estas características correspondem a Formação Iriri, Iricoumé e parte dos grupos Surumu, e estão restritas a Provincia Amazônia Central. Outras vulcânicas calci-alcalinas com idade e origem distinta não devem ser incluidas no Grupo Uatumã."

Segundo Tassinari e Macambira (1999), a porção sul da Província Ventuari - Tapajós foi afetada tanto pelo vulcanismo ácido a intermediário de natureza cálcio alcalino, do Grupo Iriri, com granitóides tipo Maloquinha, com idades entre 1,89-1,84 G.a.; como pelo vulcano plutonismo ácido a intermediário denominado Teles Pires, com idades entre 1,7-1,6 G.a. (Facilias)

A granitogenese anorogênica, co-magmática ao vulcanismo Uatumã é denominada no segmento Tapajós de Suíte Granítica Maloquinha; compreendendo granitos anorogênicos, aluminosos, tipo A, admitidos por Dardene & Shobbenhaus (2001) como de idade em torno de 1.80-1,87 G.a..

# 3.1 Single Strate Strat

Em termos gerais as mineralizações auríferas do segmento Tapajós tem sido relacionadas a dois períodos distintos:

- o 1º com idade em torno de **1º com** as mineralizações alojadas sobretudo em rochas da seqüência Cuiú-Cuiú, do Grupo Jacareacanga
- e o 2º período, com idades em torno de relacionado a Suíte Intrusiva Parauari e máficas Ingarana; com alguns depósitos primários relacionados as vulcânicas Iriri e granitos Maloquinha,

Os trabalhos disponíveis evidenciam a existência de um grande numero de depósitos de ouro primário associados principalmente a veios de quartzo, mesotermais a epitermais, em

A importância do magmatismo Iriri (mal magmatismo) na geração das mineralizações de ouro, sobretudo associado a granitogênese (Maloquinha), é um ponto polemico.

Estruturas tipo caldeira gerando **estruturas** de alta sulfetação (Nunes et al., 2000 e Juliani et al., 2000) e baixa sulfetação (Corrêa-Silva et. al. 2000 e Juliani et al. 2000)

Algumas mineralizações em rochas graníticas anorogênicas da Suíte Intrusiva Maloquinha tem sido consideradas, com base nos padrões das alterações hidrotermais, como semelhantes a depósitos do tipo (Coutinho et al., 1998; Jacobi, 1999 e Corrêa-Silva et. al., 2000).

# 2.1.1 Caso 1 - Região da Vila Riozinho

Lamarão et. al. (2002) Estudo de caso na Vila Riozinho, no contexto de zona limítrofe, entre as Províncias Ventuari - Tapajós e Amazônia Central.

Lamarão et. al. (2002) reportam que a atividade magmática desta região, esta representada por uma seqüência vulcânica mais velha (2000  $\pm$  4 Ma, 1998  $\pm$  3 Ma), denominada Seqüência vulcânica Vila Riozinho, a qual se associa uma fase mais antiga do granito São Jorge (1981  $\pm$  2 Ma, 1983  $\pm$  8 Ma).

Granitos mais jovens estão associados a seqüência vulcânica Moraes Almeida (1890  $\pm$  6 Ma, 1881  $\pm$  4 Ma, 1875  $\pm$  4 Ma), compreendendo os granitos Jardim de Ouro (1880  $\pm$  3 Ma), Maloquinha (1880  $\pm$  9 Ma) e uma fácies mais jovem do granito São Jorge (1891  $\pm$  3 Ma).

Apesar de ambas as seqüências vulcânicas serem admitidas como pertencentes ao Grupo Iriri, os dados geocronológicos e geoquímicos apresentados demonstram que essas seqüências não são contemporâneas e nem cogeneticas.

aguata, de Lamarão et. al. (2002), representa o contexto geológico da região.

predominantemente de anfibólio biotita monzogranito, sendo caracterizado por apresentar dois conjuntos rochosos heterogêneos denominados de *yonger São Jorge* e *older São Jorge*.

**Granito Maloquinha -** Este pluton ocorre nas proximidades da seqüência vulcânica Moraes almieda, apresenta formato irregular, constituido de leucosienogranitos e leucomonzogranito, de tonalidades vermelha, isotrópicos. Magnetita e fluorita são acessórios comuns.

**Granito Jardim de Ouro -** Corpo mais homogêneo Constituido predominantemente por anfibólio-biotita monzogranito, isótropo ou com discreta foliação,

**Granitos pórfiros e Diques -** corpos de granitos pórfiros que cortam o pluton São Jorge, similares na mineralogia aos termos *older São Jorge*. Predominam monzogranitos. Jacobi (1999) correlacionou o depósito de São Jorge a estes pórfiros.

A petrografia e mineralogia dos granitóides esta sumarizada na salvena

#### The first the factor of the second

older granito São Jorge e a sequência vulcânica Vila Riozinho apresentam teores de SiO<sub>2</sub> entre 54,5 e 75,1 wt%;

Os demais granitos estudados e a seqüência vulcânica Moraes Almeida têm o teor de SiO<sub>2</sub> entre 67,5 e 76,6 wt%.

Os granitos São Jorge e Jardim de Ouro e a seqüência vulcânica Vila Riozinho tem afinidades cálcio alcalinas caem no campo das (VAG), e foram interpretados como relacionadas a (2,1 - 1,97 Ga);

As amostras do granito Maloquinha e da seqüência vulcanica Moraes Almeida caem principalmente no campo dos granitos (WPG), são tardias, aluminosas, tipo A, com a granitogenese correspondente, datadas entre 1,89-1,87 Ga, foram correlacionadas a um episódio subseqüente de constant (entre 1,90 -1,87 Ga). Conforme modelo tectônico esquemático representado na accidente.

Os dados mostram ainda que a história do vulcanismo proterozóico da porção leste da Província geocronológica Venturi - Tapajós, é mais complexo, com episódios recorrentes, includos de la contrata de la complexo.

#### 2.1.2 Caso 2 - Gan to Baralia

Juliani et. al. (2002) caracteriza o granito Batalha (1,88 Ga) como sendo tardio a pós colisional, apresentando-se intensamente alterado por fluidos hidrotermais pós magmáticos, seguido de metassomatismo precoce Na e K, com pervasiva propilitização e sericitização, e deposição de ouro.

O granito batalha foi classificado pelo autor supra citado como um sistema pórfiro Cu - Au, e evidencia o potencial existente para depósitos de baixo teor e grande volume.

mapa geológico da região de ocorrência do granito Batalha.

#### 3. Segmento Alta Floresta

Este segmento da Província Aurífera Tapajós - Alta Floresta situa-se a sul do Grabén do Cachimbo, como uma faixa alongada na direção E-W (1881) 2008.

A servicio de la composition della composition d

O embasamento deste segmento esta representado por terrenos granito gnáissicos de composição e natureza similares aos terrenos tipo TTG, descritos no segmento Tapajós, o que levou a correlacioná-los aos Granitóides Arqueanos (>2.500Ma), de Macambira et al. (1990).

No segmento Alta Floresta, no Estado de Mato Grosso, são reconhecidas, principalmente, assembléias graniticas com feições petrográficas e estruturais que as permite correlaciona-las a unidades denominadas Granitos (Grupo Uatumã), já descritos por outros autores supra citados, no âmbito das Províncias Amazônia Central e Ventuari - Tapajós.

Paes de Barros (1994) correlaciona os Granitos Juruena na região de Peixoto de Azevedo - MT, aos Granitos Parauari (1,9-1,8 G.a), com as variedades petrográficas representadas principalmente por biotita monzogranitos e biotita granodioritos, estes de ocorrência pontual. São rochas leucrocráticas, isótropas, equigranulares de granulação média, e/ou porfiriticas, com cristais centimétricos de plagioclásio zonados.

Datações recentes efetuadas nas regiões de Peixoto de Azevedo-MT vem evidenciando uma relativa concentração de idades em torno de torno de sobretudo nas nas áreas mineralizadas.

Dardene e Shobbenhaus (2001) propõem para as Provincias Auriferas Tapajós e Alta Floresta, uma importante época de geração de mineralizações auriferas entre associado a zonas de cisalhamento do final do Evento Transamazônico e as intrusões graníticas de tipo Matupá e Maloquinha (magmatismo Iriri)

## 3.1 Caso Glanno Marties

Segundo Botelho e Moura, o Monzogranito Matupá constitui um maciço homogêneo, indeformado, equigranular a porfiritico, com características geoquímicas similares aos granitos de arcos vulcânicos (VAG) ou pós colisionais granitos (COLG), gerados na presença de uma crosta oceânica. Apresentam como minerais acessórios hornblenda, biotita, titanita, magnetita, ilmenita rica em Fe³, pirita e feldspato K rosa.

O maciço matupá, de idade Ma, é um granito cálcio alcalino oxidado, similar aos granitos tipo I oxidados, descritos nos cinturões paleozóicos do oeste da Austrália.

1

O primeiro de la compania esta espacialmente associado a porções do maciço granítico Matupá que foram submetidas a alteração hidrotermal pervasiva. O primeiro evento metassomático, se caracteriza por microclinização pervasiva. Em seguida o granito microclinizado foi transformado por metassomatismo sódico com formação de albita pura, substituindo principalmente feldspato K. Swegue uma fase de cloritização e sericitização. Piritização foi a ultima e mais importante fase hidrotermal no depósito.

#### 3.2 Aspectos geológicos de regiões auriferas do segmento Alta Floresta

# Região Garimpeira do

- Os dados da geoquímica de solo apresentaram valor threshold para ouro de 31,17 ppb
- Os granitos pré Uatumã, representados principalmente por biotita granitos a granodioritos, com homblenda, biotita granitos porfiriticos e granitos pórfiros, apresentaram datações U/Pb com valores da ordem de Man Man Man Man.
- As mineralizações são essencialmente do tipo veios de quartzo, associadas a estruturas de cisalhamento, freqüentemente pouco sulfetados.

# Região garimpeira de Nove vundo

- A geoquímica de solo apresentou valor threshold para ouro de 20 ppb
- O embasamento esta representado por rochas graníticas, por vezes orientadas e granitos gnaisses com feições de recristalização e milonitização segundo a direção W-NW.
- Os granitos pré Uatumã, representados principalmente por biotita granodioritos, com homblenda, granitos porfiriticos e monzogranitos. apresentaram datações U/Pb com valores da ordem de and Ma.
- Garimpo do Luizão ouro disseminado em granitos hidrotermalizados associado com py, ccp e bo.
- Garimpo do Pezão Ouro em rochas cataclásticas sulfetadas ( ZCD), com py, bo, calco pirita e malaquita.

#### NILSON F. BOTELHO and MARCIA A. MOURA

Table 2. Main characteristics of gold deposits in the Matupá—Peixoto de Azevedo and Paranaíta—Alta Floresta regions, related to or hosted in I-type oxidized granites

Gold deposit	Host rock	Wall-rock alteration	Sulfide association in the ore		
Serrinha (1) (Matupá)	Monzogranite, quartz monzonite	K-silicate, albitization, sericitization	$py \pm cp \pm sl \pm gn \pm po \pm Ag-sulpho$		
Paraiba (2) (Peixoto de Azevedo) Erédio-Melado (3) (Peixoto de	Granodiorite, tonalite, amphibolite Granodiorite, tonalite	K-silicate, propylitization, silicification Chloritization, sericitization,	py ± cp ± bmt ± bi ± po ± sl ± m o ± ga ± thd py ± cp		
Azevedo) Olerindo (4) (Matupá)	Rhyolite, porphyry, andesite	silicification Propylitization, silicification	py ± cp		
Waldemar (5) (Paranaíta)	Monzogranite, quartz monzonite	K-silicate, silicification	py ± cp ± bmt ± bi ± tdm ± sl± gn		

(1): Localization in Fig. 8. (py: pyrite; cp: chalcopyrite; sl: sphalerite; gn: galene; po: pyrhotite; mo: molibdenite; bmt: bismuthinite; bi: bismuth; thd: tetrahedrite; tdm: tetradymite; sulpho: sulpho: sulphosalts)

Coord. Lat e Long	Região Garimpeira / Denominação Local	Atitude	Esp. (cm)	Comp cava (m)	Garim- po Au g/t	Elementos ass	ociados ao veio	(ppm)	Natureza da rocha encaixante		
9°30'14" 56°35'55"	Jaú Filão do Ailton	N30W/ 35NE	30	150	55	*	*	*	Granodiorito de Coloração Cinza Claro		
9°22'1,1" 56°34'55,8"	Cajueiro Filão do Moisés	N40E/ 78SE	50 - 60	sligt	100- 120	Au - 260,6 Ag - 541,0 Pb - 49 Zn - 323	Bi - 384 Co - 37 Cu - 8.460 Fe - 5,50%	Hg - 0,47 Sb - 58 Mn - 976 Cd - 2,4	Granito de Coloração Cinza Esverdeado		
9°31'28" 56°24'51"	Zé Vermelho Filão Diva Lupo	N60W/SV	100- 200	40	14	Au - 18,3 Ag - 4,0 Pb - 3,2 Zn - 79	Bi - 84 Co - 31 Cu - 316 Fe - 7,4%	Hg -7,45 Sb - 48 Mn - 453 Cd - 1,0	Biotita Granodiorito Porfíritico		
9°31'30" 56°28'57"	Zé da Onça Filão do Waldemar	N60W/ 60NE	1,0 a 1,4 m	200	23	*	*	*	Granodiorito e Tonalitos		
9°23'57,1" 57°15'43"	Planeta Filão do Raimundo	E-W/W	30	40	45	Au - 43,7 Ag - 30,5 Pb - 271 Zn - 261	Bi - 524 Co - 150 Cu - 8.040 Fe- 3,96%	Hg - 0,19 Sb - 40 Mn - 510 Cd - 4,5	Granito Róseo Equigranular		
9°22'55" 57°13'45"	Planeta Filão do Jorge	N40W subvertic al	2,0 4,5	100	25	Au - 3,2 Ag - <10 Pb - 30 Zn - 114	Bi - 37 Co - <5 Cu - 30 Fe - 0,2%	Hg - 0,12 Sb - <20 Mn - 130 Cd - 0,5	Granito Fino a Médio c/ Textura Rapakivi c/ Sulfetos Disseminados		
9°24'40" 57°24'2,8"	Satélite Filão do Paulinho	N55W/W	50 - 70	150	35	Au - 51,9 Ag - 113,6 Pb - 718 Zn - 920	Bi - 472 Co - 36 Cu 18.120 Fe - 5,81%	Hg - 3,04 Sb - 24 Mn - 119 Cd - 4,4	Granito Róseo (Alterado) a cinza Claro		
9°22'30" 57°26'18"	Satélite Filão do Jacaré	N80W/ 80SW a subvertic al	1,5 a 2,0 m	70	50	Au - 24,9 Ag - 2,8 Pb - 355 Zn - 240	Bi - 38 Co - 12 Cu - 410 Fe - 3,55%	Hg - 14,82 Sb - <20 Mn - 444	Granodiorito Cinza Claro Equigranular Avermelhado		
9°25'11" 57°28'20"	Satélite Filão do Léo (Sergio Toca)	N65W/SV	20	60	33	Au - 70,7 Ag - 23 Pb - 3.220 Zn - 1.742	Bi - 39 Co - 40 Cu -2.2800 Fe - 1,58%	Hg - 1,91 Sb - 28 Mn - 330 Cd - 63,6	Rocha Granodioritica c/ Py e Calcopy		

\* Não foi possivel amostrar Tabela 3 - Filões Amostrados na Sub-Província Teles Pires

	Magmatic stage	Postmagmatic stage	Na metasomatism	K metasomatism	Propylitic alteration	Sericitic alteration
Oligoclase						
Albite	_	[			1	
K-feldspar	1 Marie 10					
Perthite		) :				
Microcline	t <b>a</b>		11		(9	
Hornblende						
Biotite				1:1 <b>(2000)</b>	/ss	
Quartz	11111	E19913	181	E 3 1 1 1 1		
Zircon		ļ				
Allonite		]				
Apatite		}			irae	
Ilmenite		ļ			[ ]	
Titanite	ı	•				
Chlorite I		ļ		I		
Chlorite II					} <b>94</b>	•
Epidote/clinozolzite					والمستنسستان ا	•
Sericite					C C	
Carbonates		ł				1 31
Fluorite		:	888	1	1 04	13 SE 1 1 1 1 1 1 1 1 1 1 1 1 1 1 1 1 1 1
Sulfides		<b>[</b>		t		
Gold				0.1	0001210101	# 1
Alteration style			Pervasive	Pervasive to fissural	Pervasive to fissural	Mainly fissural

Fig. 6. Magmatic, post-magmatic and hydrothermal crystallization sequences in the Batalha granite.

GEOLOGIC SEQUENCE	GEOLOGIC TIME (Ma)					
Maloquinha granite					***	
Biotite leucomonzogranite						
Jardim de Ouro granite					62.5 	
Homblende-biotite monzogranite						
Moraes Almeida volcanic sequence				7	4 4 4	
Ignimòrite					3	
Trachyte						
Rhyolite						
Younger São Jorge granite						
Hornblende-biotite monzogranite						
Older São Jorge granite						
Biotite leucomonzogranite					.04	
Homblende-biotite monzogranite					*	
Vila Riozinho volcanic sequence					, de la constanta	
Trachyte						
Trachyte						
	2019 1990 1970	1950 1930	1910	1896	1870	

<sup>: .</sup> Summary of geochronologic data on the magmatic rocks of Vila Riozinho. Horizontal bars show the 2σ error in the ages of the dated samples.

- Figura 1 Localização da Província Aurífera Tapajós Alta Floresta Fonte: Dardene, M. A. & Schobbenhaus, C. (2001)
- Figura 2 Distribuição das Províncias Geocronológicas no Cráton Amazônico. Fonte: Tassinari e Macambira (1999)
- Figura 3 Mapa geológico simplificado do segmento Tapajós (PATA)

  J = Jacareacanga; M.A. = Moraes Almeida; N.P. = Novo Progresso

  V.R. = Vila Riozinho; C.R. = Creporizão.

  Fonte: Dardene, M. A. & Schobbenhaus, C. (2001)
- Tabela 1 Síntese das idades isotópicas determinadas em rochas da PAC.
   Fonte: Tassinari et. al. (2000)
- Tabela 2 Síntese das idades isotópicas determinadas em rochas da PVT. Fonte: Tassinari et. al. (2000)
- Figuras 4/4a Modelo geológico esquemático de um sistema hidrotermal e de alojamento de granitos em arcos magmáticos.

  Fonte: Dardene, M. A. & Schobbenhaus, C. (2001)
- Figura 5 Mapa geológico simplificado da região da Vila Riozinho segmento Tapajós J- Jacareacanga; M.A.- Moraes Almeida; J.O.- Jardim do Ouro; V.R.-Vila Riozinho Fonte: Lamarão et al. (2002)
- Tabela 3 Características petrográficas e mineralógicas dos granitóides da região da Vila Riozinho Pará.
  Fonte: Lamarão et. al. (2002)
- Figura 6 Modelo tectônico esquemático da região da Vila Riozinho Pará Fonte: Lamarão et. al. (2002)
- Figura 7 Mapa geológico da região de ocorrência do granito Batalha Fonte: Juliani et. al. (2002)
- Figura 8 Mapa com a distribuição dos campos de ouro no segmento Alta Floresta